



(12) 发明专利

(10) 授权公告号 CN 110515186 B

(45) 授权公告日 2024. 05. 03

(21) 申请号 201910912301.4

(22) 申请日 2019.09.25

(65) 同一申请的已公布的文献号

申请公布号 CN 110515186 A

(43) 申请公布日 2019.11.29

(73) 专利权人 浙江舜宇光学有限公司

地址 315400 浙江省宁波市余姚市舜宇路
66-68号

(72) 发明人 闻人建科 戴付建 赵烈烽

(74) 专利代理机构 北京英思普睿知识产权代理

有限公司 16018

专利代理师 刘莹 聂国斌

(51) Int. Cl.

G02B 13/00 (2006.01)

G02B 13/18 (2006.01)

(56) 对比文件

CN 108121055 A, 2018.06.05

CN 110082890 A, 2019.08.02

CN 210924083 U, 2020.07.03

JP 2015072403 A, 2015.04.16

审查员 宋晓诗

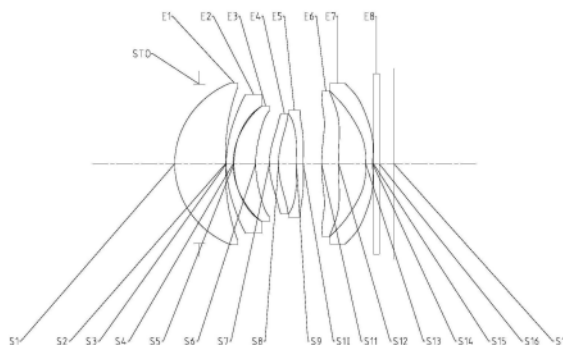
权利要求书2页 说明书22页 附图25页

(54) 发明名称

光学成像镜头

(57) 摘要

本申请公开了一种光学成像镜头,其中,光学成像镜头沿着光轴由物侧至像侧依序包括具有正光焦度的第一透镜;具有负光焦度的第二透镜;具有光焦度的第三透镜;具有光焦度的第四透镜;具有光焦度的第五透镜;具有正光焦度的第六透镜;以及具有负光焦度的第七透镜;其中,所述光学成像镜头的入瞳直径EPD与所述光学成像镜头的最大半视场角Semi-FOV满足: $11\text{mm} < \text{EPD}/\text{TAN}(\text{Semi-FOV}) < 20\text{mm}$ 。



1. 一种光学成像镜头,其特征在于,沿着光轴由物侧至像侧依序包括:
 - 具有正光焦度的第一透镜,其物侧面为凸面;
 - 具有负光焦度的第二透镜,其物侧面为凸面,像侧面为凹面;
 - 具有正光焦度的第三透镜,其物侧面为凸面,像侧面为凹面;
 - 具有正光焦度的第四透镜,其物侧面为凸面,像侧面为凹面;
 - 具有负光焦度的第五透镜;
 - 具有正光焦度的第六透镜,其物侧面为凸面;以及
 - 具有负光焦度的第七透镜,其像侧面为凹面;其中,所述光学成像镜头具有光焦度的透镜的数量为七;
所述第一透镜、所述第二透镜和所述第三透镜的组合焦距 f_{123} 与所述光学成像镜头的总有效焦距 f 满足:
 - 1. $1.0 < f_{123}/f < 1.4$;所述第一透镜的物侧面至所述光学成像镜头的成像面在所述光轴上的距离TTL与所述光学成像镜头的入瞳直径EPD满足:
 - 1. $1.2 < TTL/EPD < 1.6$ 。
2. 根据权利要求1所述的光学成像镜头,其特征在于,所述光学成像镜头的总有效焦距 f 与所述光学成像镜头的入瞳直径EPD满足:
 - 1. $1.2 < f/EPD < 1.4$ 。
3. 根据权利要求2所述的光学成像镜头,其特征在于,所述光学成像镜头的入瞳直径EPD与所述光学成像镜头的最大半视场角Semi-FOV满足:
 - 1. $11 \text{ mm} < EPD/\text{TAN}(\text{Semi-FOV}) < 20 \text{ mm}$ 。
4. 根据权利要求1所述的光学成像镜头,其特征在于,所述第一透镜的有效焦距 f_1 、所述第二透镜的有效焦距 f_2 、所述第六透镜的有效焦距 f_6 以及所述第七透镜的有效焦距 f_7 满足:
 - 1. $-1 < (f_2+f_7)/(f_1+f_6) < -0.6$ 。
5. 根据权利要求1所述的光学成像镜头,其特征在于,所述第二透镜的物侧面的曲率半径 R_3 、所述第二透镜的像侧面的曲率半径 R_4 、所述第三透镜的物侧面的曲率半径 R_5 以及所述第三透镜的像侧面的曲率半径 R_6 满足:
 - 1. $0.6 < (R_3+R_4)/(R_5+R_6) < 1.1$ 。
6. 根据权利要求1所述的光学成像镜头,其特征在于,所述第四透镜的物侧面的曲率半径 R_7 、所述第四透镜的像侧面的曲率半径 R_8 以及所述第四透镜的有效焦距 f_4 满足:
 - 1. $0.1 \text{ mm} < (R_7 \times R_8)/f_4 < 0.6 \text{ mm}$ 。
7. 根据权利要求1所述的光学成像镜头,其特征在于,所述光学成像镜头的总有效焦距 f 满足:
 - 1. $7 \text{ mm} < f < 8 \text{ mm}$ 。
8. 根据权利要求1所述的光学成像镜头,其特征在于,所述第三透镜和所述第四透镜在所述光轴上的间隔距离 T_{34} 、所述第四透镜和所述第五透镜在所述光轴上的间隔距离 T_{45} 、所述第五透镜和所述第六透镜在所述光轴上的间隔距离 T_{56} 以及所述第六透镜和所述第七透镜在所述光轴上的间隔距离 T_{67} 满足:

$$0.6 < (T34+T45) / (T56+T67) < 1.0。$$

9. 根据权利要求1所述的光学成像镜头,其特征在于,所述第一透镜在所述光轴上的中心厚度CT1与所述第一透镜的物侧面至所述光学成像镜头的成像面在所述光轴上的距离TTL满足:

$$0.9 < CT1 / TTL \times 5 < 1.2。$$

10. 根据权利要求1所述的光学成像镜头,其特征在于,所述第一透镜的物侧面和所述光轴的交点至所述第一透镜的物侧面的有效半径顶点的轴上距离SAG11与所述光学成像镜头的成像面上有效像素区域的对角线长的一半ImgH满足:

$$0.3 < SAG11 / ImgH < 0.6。$$

11. 根据权利要求1所述的光学成像镜头,其特征在于,所述第三透镜的物侧面和所述光轴的交点至所述第三透镜的物侧面的有效半径顶点的轴上距离SAG31、所述第四透镜的物侧面和所述光轴的交点至所述第四透镜的物侧面的有效半径顶点的轴上距离SAG41以及所述第七透镜的物侧面和所述光轴的交点至所述第七透镜的物侧面的有效半径顶点的轴上距离SAG71满足:

$$0.5 < SAG31 / (SAG41 - SAG71) < 0.9。$$

光学成像镜头

技术领域

[0001] 本申请涉及光学元件领域,具体地,涉及一种光学成像镜头。

背景技术

[0002] 近年来随着摄像设备不断发展,摄像设备的拍摄质量得到不断提高。同时人们对摄像也变得愈加热爱。尤其在环境多场景下拍摄已成为人们普遍的摄像追求。面对拍摄环境的不断变化,能够在光线偏暗环境下进行远距离高清成像的摄像设备已成为市场上不可或缺的需求。然而,光学成像镜头是决定摄像设备拍摄效果的关键。增大光学成像镜头的孔径有利于摄像设备在光线偏暗环境下获得好的拍摄效果。设置光学成像镜头的长焦特性有利于摄像设备进行远距离高清成像。两者相结合,有利于摄像设备在光线偏暗环境下进行远距离高清成像。

发明内容

[0003] 本申请的一方面提供了这样一种光学成像镜头,该光学成像镜头沿着光轴由物侧至像侧依序包括:具有正光焦度的第一透镜;具有负光焦度的第二透镜;具有光焦度的第三透镜;具有光焦度的第四透镜;具有光焦度的第五透镜;具有正光焦度的第六透镜;以及具有负光焦度的第七透镜。

[0004] 在一个实施方式中,光学成像镜头的入瞳直径EPD与光学成像镜头的最大半视场角Semi-FOV满足: $11\text{mm} < \text{EPD}/\text{TAN}(\text{Semi-FOV}) < 20\text{mm}$ 。

[0005] 在一个实施方式中,光学成像镜头的总有效焦距f与光学成像镜头的入瞳直径EPD满足: $f/\text{EPD} < 1.4$ 。

[0006] 在一个实施方式中,第一透镜的物侧面至光学成像镜头的成像面在光轴上的距离TTL与光学成像镜头的入瞳直径EPD满足: $1.2 < \text{TTL}/\text{EPD} < 1.6$ 。

[0007] 在一个实施方式中,第一透镜的有效焦距f1、第二透镜的有效焦距f2、第六透镜的有效焦距f6以及第七透镜的有效焦距f7满足: $-1 < (f2+f7)/(f1+f6) < -0.6$ 。

[0008] 在一个实施方式中,第二透镜的物侧面的曲率半径R3、第二透镜的像侧面的曲率半径R4、第三透镜的物侧面的曲率半径R5以及第三透镜的像侧面的曲率半径R6满足: $0.6 < (R3+R4)/(R5+R6) < 1.1$ 。

[0009] 在一个实施方式中,第四透镜的物侧面的曲率半径R7、第四透镜的像侧面的曲率半径R8以及第四透镜的有效焦距f4满足: $0.1\text{mm} < (R7 \times R8)/f4 < 0.6\text{mm}$ 。

[0010] 在一个实施方式中,光学成像镜头的总有效焦距f满足: $7\text{mm} < f < 8\text{mm}$ 。

[0011] 在一个实施方式中,第三透镜和第四透镜在光轴上的间隔距离T34、第四透镜和第五透镜在光轴上的间隔距离T45、第五透镜和第六透镜在光轴上的间隔距离T56以及第六透镜和第七透镜在光轴上的间隔距离T67满足: $0.6 < (T34+T45)/(T56+T67) < 1.0$ 。

[0012] 在一个实施方式中,第一透镜在光轴上的中心厚度CT1与第一透镜的物侧面至光学成像镜头的成像面在光轴上的距离TTL满足: $0.9 < \text{CT1}/\text{TTL} \times 5 < 1.2$ 。

[0013] 在一个实施方式中,第一透镜的物侧面和光轴的交点至第一透镜的物侧面的有效半径顶点的轴上距离SAG11与光学成像镜头的成像面上有效像素区域的对角线长的一半H满足: $0.3 < \text{SAG11} / \text{ImgH} < 0.6$ 。

[0014] 在一个实施方式中,第三透镜的物侧面和光轴的交点至第三透镜的物侧面的有效半径顶点的轴上距离SAG31、第四透镜的物侧面和光轴的交点至第四透镜的物侧面的有效半径顶点的轴上距离SAG41以及第七透镜的物侧面和光轴的交点至第七透镜的物侧面的有效半径顶点的轴上距离SAG71满足: $0.5 < \text{SAG31} / (\text{SAG41} - \text{SAG71}) < 0.9$ 。

[0015] 在一个实施方式中,第一透镜、第二透镜和第三透镜的组合焦距f₁₂₃与光学成像镜头的总有效焦距f满足: $1.0 < f_{123} / f < 1.4$ 。

[0016] 在一个实施方式中,第一透镜的物侧面为凸面、第六透镜的物侧面为凸面以及第七透镜的像侧面为凹面。

[0017] 本申请提供的光学成像镜头采用多个透镜,例如第一透镜至第七透镜。通过合理设置光学成像镜头的入瞳直径与光学成像镜头的最大半视场角的相互关系,并优化设置透镜的光焦度和面型,使得各透镜之间彼此合理搭配,以平衡光学系统的像差、提高成像质量,并使镜头具有例如大光圈、长焦等特性。

附图说明

[0018] 结合附图,通过以下非限制性实施方式的详细描述,本申请的其他特征、目的和优点将变得更加明显。在附图中:

[0019] 图1示出了根据本申请实施例1的光学成像镜头的结构示意图;

[0020] 图2A至图2D分别示出了实施例1的光学成像镜头的轴上色差曲线、象散曲线、畸变曲线以及倍率色差曲线;

[0021] 图3示出了根据本申请实施例2的光学成像镜头的结构示意图;

[0022] 图4A至图4D分别示出了实施例2的光学成像镜头的轴上色差曲线、象散曲线、畸变曲线以及倍率色差曲线;

[0023] 图5示出了根据本申请实施例3的光学成像镜头的结构示意图;

[0024] 图6A至图6D分别示出了实施例3的光学成像镜头的轴上色差曲线、象散曲线、畸变曲线以及倍率色差曲线;

[0025] 图7示出了根据本申请实施例4的光学成像镜头的结构示意图;

[0026] 图8A至图8D分别示出了实施例4的光学成像镜头的轴上色差曲线、象散曲线、畸变曲线以及倍率色差曲线;

[0027] 图9示出了根据本申请实施例5的光学成像镜头的结构示意图;

[0028] 图10A至图10D分别示出了实施例5的光学成像镜头的轴上色差曲线、象散曲线、畸变曲线以及倍率色差曲线;

[0029] 图11示出了根据本申请实施例6的光学成像镜头的结构示意图;

[0030] 图12A至图12D分别示出了实施例6的光学成像镜头的轴上色差曲线、象散曲线、畸变曲线以及倍率色差曲线;

[0031] 图13示出了根据本申请实施例7的光学成像镜头的结构示意图;

[0032] 图14A至图14D分别示出了实施例7的光学成像镜头的轴上色差曲线、象散曲线、畸

变曲线以及倍率色差曲线；

[0033] 图15示出了根据本申请实施例8的光学成像镜头的结构示意图；

[0034] 图16A至图16D分别示出了实施例8的光学成像镜头的轴上色差曲线、象散曲线、畸变曲线以及倍率色差曲线；

[0035] 图17示出了根据本申请实施例9的光学成像镜头的结构示意图；

[0036] 图18A至图18D分别示出了实施例9的光学成像镜头的轴上色差曲线、象散曲线、畸变曲线以及倍率色差曲线；

[0037] 图19示出了根据本申请实施例10的光学成像镜头的结构示意图；

[0038] 图20A至图20D分别示出了实施例10的光学成像镜头的轴上色差曲线、象散曲线、畸变曲线以及倍率色差曲线。

具体实施方式

[0039] 为了更好地理解本申请,将参考附图对本申请的各个方面做出更详细的说明。应理解,这些详细说明只是对本申请的示例性实施方式的描述,而非以任何方式限制本申请的范围。在说明书全文中,相同的附图标号指代相同的元件。表述“和/或”包括相关联的所列项目中的一个或多个的任何和全部组合。

[0040] 应注意,在本说明书中,第一、第二、第三等的表述仅用于将一个特征与另一个特征区分开来,而不表示对特征的任何限制。因此,在不背离本申请的教导的情况下,下文中讨论的第一透镜也可被称作第二透镜或第三透镜。

[0041] 在附图中,为了便于说明,已稍微夸大了透镜的厚度、尺寸和形状。具体来讲,附图中所示的球面或非球面的形状通过示例的方式示出。即,球面或非球面的形状不限于附图中示出的球面或非球面的形状。附图仅为示例而并非严格按比例绘制。

[0042] 在本文中,近轴区域是指光轴附近的区域。若透镜表面为凸面且未界定该凸面位置时,则表示该透镜表面至少于近轴区域为凸面;若透镜表面为凹面且未界定该凹面位置时,则表示该透镜表面至少于近轴区域为凹面。每个透镜最靠近被摄物体的表面称为该透镜的物侧面,每个透镜最靠近成像面的表面称为该透镜的像侧面。

[0043] 还应理解的是,用语“包括”、“包括有”、“具有”、“包含”和/或“包含有”,当在本说明书中使用时表示存在所陈述的特征、元件和/或部件,但不排除存在或附加有一个或多个其它特征、元件、部件和/或它们的组合。此外,当诸如“...中的至少一个”的表述出现在所列特征的列表之后时,修饰整个所列特征,而不是修饰列表中的单独元件。此外,当描述本申请的实施方式时,使用“可”表示“本申请的一个或多个实施方式”。并且,用语“示例性的”旨在指代示例或举例说明。

[0044] 除非另外限定,否则本文中使用的所有用语(包括技术用语和科学用语)均具有与本申请所属领域普通技术人员的通常理解相同的含义。还应理解的是,用语(例如在常用词典中定义的用语)应被解释为具有与它们在相关技术的上下文中的含义一致的含义,并且将不被以理想化或过度正式意义解释,除非本文中明确如此限定。

[0045] 需要说明的是,在不冲突的情况下,本申请中的实施例及实施例中的特征可以相互组合。下面将参考附图并结合实施例来详细说明本申请。

[0046] 以下对本申请的特征、原理和其他方面进行详细描述。

[0047] 根据本申请示例性实施方式的光学成像镜头可包括七片具有光焦度的透镜,即,第一透镜、第二透镜、第三透镜、第四透镜、第五透镜、第六透镜和第七透镜。这七片透镜沿着光轴由物侧至像侧依序排列。

[0048] 在示例性实施方式中,第一透镜可具有正光焦度;第二透镜可具有负光焦度;第三透镜可具有正光焦度或负光焦度;第四透镜可具有正光焦度或负光焦度;第五透镜可具有正光焦度或负光焦度;第六透镜可具有正光焦度;以及第七透镜可具有负光焦度。第一透镜具有正光焦度,第二透镜具有负光焦度,通过对第一透镜和第二透镜的正负光焦度的合理分配,可以有效地平衡系统的低阶像差,使得系统具有较好的成像质量和加工性。第六透镜具有正光焦度,第七透镜具有负光焦度,有利于减小系统球差和像散,提高光学系统的成像品质并提高光学系统的相对照度。

[0049] 在示例性实施方式中,第二透镜的物侧面可为凸面,像侧面可为凹面。

[0050] 在示例性实施方式中,第三透镜可具有正光焦度,其像侧面可为凹面。

[0051] 在示例性实施方式中,第四透镜的物侧面可为凸面,像侧面可为凹面。

[0052] 在示例性实施方式中,光学成像镜头的入瞳直径EPD与光学成像镜头的最大半视场角Semi-FOV可满足: $11\text{mm} < \text{EPD}/\text{TAN}(\text{Semi-FOV}) < 20\text{mm}$,例如, $11\text{mm} < \text{EPD}/\text{TAN}(\text{Semi-FOV}) < 15\text{mm}$ 。合理设置光学成像镜头的入瞳直径与光学成像镜头最大半视场角的正切值的比例关系,有利于保证光学系统具有较大光圈的同时,还具有较大的拍摄范围。

[0053] 在示例性实施方式中,光学成像镜头的总有效焦距 f 与光学成像镜头的入瞳直径EPD可满足: $f/\text{EPD} < 1.4$,例如, $1.2 < f/\text{EPD} < 1.4$ 。合理分配光学成像镜头的光焦度,使得光学成像镜头的F数小于1.4,有利于光学成像镜头具有大光圈特性,使得光学成像镜头能够更好适用于阴天、黄昏等光线不足时的拍摄环境,以实现良好的成像质量。

[0054] 在示例性实施方式中,第一透镜的物侧面至光学成像镜头的成像面在光轴上的距离TTL与光学成像镜头的入瞳直径EPD可满足: $1.2 < \text{TTL}/\text{EPD} < 1.6$ 。合理设置第一透镜的物侧面至光学成像镜头的成像面在光轴上的距离与光学成像镜头的入瞳直径的比例关系,既有利于实现光学成像镜头的超薄特性,又有利于使得光学成像镜头具有较大的相对孔径,使其具有较强的集光能力。

[0055] 在示例性实施方式中,第一透镜的有效焦距 f_1 、第二透镜的有效焦距 f_2 、第六透镜的有效焦距 f_6 以及第七透镜的有效焦距 f_7 可满足: $-1 < (f_2+f_7)/(f_1+f_6) < -0.6$ 。合理设置上述透镜的有效焦距之间的相互关系,有利于控制上述四片透镜的球差贡献量在合理的水平范围内,使得轴上视场获得良好的成像质量。

[0056] 在示例性实施方式中,第二透镜的物侧面的曲率半径 R_3 、第二透镜的像侧面的曲率半径 R_4 、第三透镜的物侧面的曲率半径 R_5 以及第三透镜的像侧面的曲率半径 R_6 可满足: $0.6 < (R_3+R_4)/(R_5+R_6) < 1.1$ 。合理设置第二透镜的物侧面和像侧面的曲率半径之和与第三透镜的物侧面和像侧面的曲率半径之和的比例关系,有利于有效控制入射至光学系统中的光线经过第二透镜和第三透镜后的偏折角度,使得光学系统中各视场光线到达成像面时能够更好地匹配芯片的CRA(Chief Ray Angle,主光线倾斜角)。

[0057] 在示例性实施方式中,第四透镜的物侧面的曲率半径 R_7 、第四透镜的像侧面的曲率半径 R_8 以及第四透镜的有效焦距 f_4 可满足: $0.1\text{mm} < (R_7 \times R_8)/f_4 < 0.6\text{mm}$ 。合理设置第四透镜的物侧面的曲率半径和第四透镜的像侧面的曲率半径的乘积与第四透镜的有效焦距的

比例关系,有利于有效控制第四透镜的曲率,使其场曲贡献量在合理的范围,以降低第四透镜的光学敏感度,从而保证其具有良好的加工性能。

[0058] 在示例性实施方式中,光学成像镜头的总有效焦距 f 可满足: $7\text{mm}<f<8\text{mm}$ 。合理设置光学成像镜头的总有效焦距,使得光学成像镜头具有一定的长焦特性。

[0059] 在示例性实施方式中,第三透镜和第四透镜在光轴上的间隔距离 T_{34} 、第四透镜和第五透镜在光轴上的间隔距离 T_{45} 、第五透镜和第六透镜在光轴上的间隔距离 T_{56} 以及第六透镜和第七透镜在光轴上的间隔距离 T_{67} 可满足: $0.6<(T_{34}+T_{45})/(T_{56}+T_{67})<1.0$ 。合理设置上述相邻透镜的间隔距离的相互关系,既有利于合理控制上述透镜在光学系统的空间占比,保证透镜的组装工艺,又有利于实现光学成像镜头的小型化。

[0060] 在示例性实施方式中,第一透镜在光轴上的中心厚度 CT_1 与第一透镜的物侧面至光学成像镜头的成像面在光轴上的距离 TTL 可满足: $0.9<CT_1/TTL\times 5<1.2$ 。合理设置第一透镜在光轴上的中心厚度和第一透镜的物侧面至光学成像镜头的成像面在光轴上的距离的比例关系,既有利于减小光学系统的总体长度,使得光学成像镜头的前端相对轻薄,又有利于降低光学系统的加工感度。

[0061] 在示例性实施方式中,第一透镜的物侧面和光轴的交点至第一透镜的物侧面的有效半径顶点的轴上距离 SAG_{11} 与光学成像镜头的成像面上有效像素区域的对角线长的一半 $ImgH$ 可满足: $0.3<SAG_{11}/ImgH<0.6$ 。合理设置第一透镜的物侧面和光轴的交点至第一透镜的物侧面的有效半径顶点的轴上距离与光学成像镜头的成像面上有效像素区域的对角线长的一半的比例关系,有利于有效控制光学成像镜头的场曲和畸变量,提高其成像质量。

[0062] 在示例性实施方式中,第三透镜的物侧面和光轴的交点至第三透镜的物侧面的有效半径顶点的轴上距离 SAG_{31} 、第四透镜的物侧面和光轴的交点至第四透镜的物侧面的有效半径顶点的轴上距离 SAG_{41} 以及第七透镜的物侧面和光轴的交点至第七透镜的物侧面的有效半径顶点的轴上距离 SAG_{71} 可满足: $0.5<SAG_{31}/(SAG_{41}-SAG_{71})<0.9$ 。合理设置上述三者的相互关系,有利于更好地平衡光学成像镜头的场曲、轴上球差以及色球差,进而使得光学成像镜头具有良好的成像质量和较低的系统敏感性,从而保证光学成像镜头具有良好的加工性。

[0063] 在示例性实施方式中,第一透镜、第二透镜和第三透镜的组合焦距 f_{123} 与光学成像镜头的总有效焦距 f 可满足: $1.0<f_{123}/f<1.4$ 。合理设置第一透镜、第二透镜和第三透镜的组合焦距与光学成像镜头的总有效焦距的比例关系,有利于减小光学系统中光线的偏转角,降低光学系统的敏感性。

[0064] 在示例性实施方式中,第一透镜的物侧面可为凸面、第六透镜的物侧面可为凸面以及第七透镜的像侧面可为凹面。合理设置第一透镜的物侧面、第六透镜的物侧面和第七透镜的像侧面的面型,既有利于压缩光阑位置处光线的入射角、减小光瞳像差,以提高成像质量,又有利于提升光学系统的相对照度。

[0065] 在示例性实施方式中,上述光学成像镜头还可包括光阑。光阑可根据需要设置在适当位置处。例如,光阑可设置在物侧与第一透镜之间。可选地,上述光学成像镜头还可包括用于校正色彩偏差的滤光片和/或用于保护位于成像面上的感光元件的保护玻璃。

[0066] 根据本申请的成像镜头采用七片的非球面透镜,通过不同透镜的搭配和设计,可以获得较高的成像质量。同时,根据本申请的成像镜头通过对光焦度的合理分配

和对高阶非球面参数的优化选择,不仅可以满足光学系统的高成像质量,而且还可以满足光学系统大孔径特性的同时并具备一定长焦特性的优势。

[0067] 在示例性实施方式中,各透镜的镜面中的至少一个为非球面镜面,即,第一透镜的物侧面至第七透镜的像侧面中的至少一个镜面为非球面镜面。非球面透镜的特点是:从透镜中心到透镜周边,曲率是连续变化的。与从透镜中心到透镜周边具有恒定曲率的球面透镜不同,非球面透镜具有更佳的曲率半径特性,具有改善歪曲像差及改善像散像差的优点。采用非球面透镜后,能够尽可能地消除在成像的时候出现的像差,从而改善成像质量。可选地,第一透镜、第二透镜、第三透镜、第四透镜、第五透镜、第六透镜和第七透镜中的每个透镜的物侧面和像侧面中的至少一个为非球面镜面。可选地,第一透镜、第二透镜、第三透镜、第四透镜、第五透镜、第六透镜和第七透镜中的每个透镜的物侧面和像侧面均为非球面镜面。

[0068] 本申请还提供一种成像装置,其电子感光元件可以是感光耦合元件(CCD)或互补性氧化金属半导体元件(CMOS)。成像装置可以是诸如数码相机的独立成像设备,也可以是集成在诸如手机等移动电子设备上的成像模块。该成像装置装配有以上描述的光学成像镜头。

[0069] 本申请的示例性实施方式还提供一种电子设备,该电子设备包括以上描述的成像装置。

[0070] 然而,本领域的技术人员应当理解,在未背离本申请要求保护的技术方案的情况下,可改变构成光学成像镜头的透镜数量,来获得本说明书中描述的各个结果和优点。例如,虽然在实施方式中以七个透镜为例进行了描述,但是该光学成像镜头不限于包括七个透镜。如果需要,该光学成像镜头还可包括其它数量的透镜。

[0071] 下面参照附图进一步描述可适用于上述实施方式的光学成像镜头的具体实施例。

[0072] 实施例1

[0073] 以下参照图1至图2D描述根据本申请实施例1的光学成像镜头。图1是示出了根据本申请实施例1的光学成像镜头的结构示意图。

[0074] 如图1所示,光学成像镜头沿光轴由物侧至像侧依序包括:光阑ST0、第一透镜E1、第二透镜E2、第三透镜E3、第四透镜E4、第五透镜E5、第六透镜E6、第七透镜E7、滤光片E8和成像面S17。

[0075] 第一透镜E1具有正光焦度,其物侧面S1为凸面,像侧面S2为凹面。第二透镜E2具有负光焦度,其物侧面S3为凸面,像侧面S4为凹面。第三透镜E3具有正光焦度,其物侧面S5为凸面,像侧面S6为凹面。第四透镜E4具有正光焦度,其物侧面S7为凸面,像侧面S8为凹面。第五透镜E5具有负光焦度,其物侧面S9为凸面,像侧面S10为凹面。第六透镜E6具有正光焦度,其物侧面S11为凸面,像侧面S12为凹面。第七透镜E7具有负光焦度,其物侧面S13为凹面,像侧面S14为凹面。滤光片E8具有物侧面S15和像侧面S16。来自物体的光依序穿过各表面S1至S16并最终成像在成像面S17上。

[0076] 表1示出了实施例1的光学成像镜头的基本参数表,其中,曲率半径、厚度/距离和焦距的单位均为毫米(mm)。

面号	表面类型	曲率半径	厚度/距离	材料		焦距	圆锥系数
				折射率	色散系数		
OBJ	球面	无穷大	无穷大				
STO	球面	无穷大	-0.9000				
S1	非球面	3.0583	1.8600	1.54	55.7	6.64	0.0000
S2	非球面	16.9651	0.0300				0.0000
S3	非球面	3.9934	0.2500	1.68	19.2	-8.22	0.0000
S4	非球面	2.2669	0.0300				0.0000
S5	非球面	2.6993	0.7940	1.54	55.7	20.45	0.0000
S6	非球面	3.2118	0.5049				0.0000
S7	非球面	2.3923	0.3348	1.54	55.7	23.78	0.0000
S8	非球面	2.8001	0.6546				0.0000
S9	非球面	21.3232	0.2500	1.65	23.5	-32.97	0.0000
S10	非球面	10.5854	0.6690				0.0000
S11	非球面	4.9235	0.6260	1.68	19.2	11.72	0.0000
S12	非球面	12.2936	0.9949				0.0000
S13	非球面	-10.1557	0.2518	1.54	55.7	-6.35	0.0000
S14	非球面	5.1681	0.0300				0.0000
S15	球面	无穷大	0.2100	1.52	64.2		
S16	球面	无穷大	0.5400				
S17	球面	无穷大					

[0079] 表1

[0080] 在本实施例中,光学成像镜头的总有效焦距 $f=7.46\text{mm}$,从第一透镜E1的物侧面S1至成像面S17在光轴上的距离 $TTL=8.03\text{mm}$,以及成像面S17上有效像素区域对角线长的一半 $\text{ImgH}=3.49\text{mm}$ 。

[0081] 在实施例1中,第一透镜E1至第七透镜E7中的任意一个透镜的物侧面和像侧面均为非球面,各非球面透镜的面型 x 可利用但不限于以下非球面公式进行限定:

$$x = \frac{ch^2}{1 + \sqrt{1 - (k+1)c^2h^2}} + \sum A_i h^i \quad (1)$$

[0083] 其中, x 为非球面沿光轴方向在高度为 h 的位置时,距非球面顶点的距离矢高; c 为非球面的近轴曲率, $c=1/R$ (即,近轴曲率 c 为上表1中曲率半径 R 的倒数); k 为圆锥系数; A_i 是非球面第 i -th阶的修正系数。下表2给出了可用于实施例1中各非球面镜面S1-S14的高次项系数 A_4 、 A_6 、 A_8 、 A_{10} 、 A_{12} 、 A_{14} 和 A_{16} 。

面号	A4	A6	A8	A10	A12	A14	A16
S1	-2.6000E-04	-2.5000E-04	-1.5000E-05	4.0400E-05	-1.3000E-05	1.6200E-06	-7.6177E-08
S2	-3.9000E-05	7.5380E-03	-3.5600E-03	7.9500E-04	-9.5000E-05	5.7900E-06	-1.4173E-07
S3	-1.5780E-02	8.8770E-03	-2.5200E-03	1.0700E-04	6.8300E-05	-1.1000E-05	5.3573E-07
S4	-6.7440E-02	7.9630E-02	-5.6480E-02	2.3148E-02	-5.6800E-03	7.7100E-04	-4.4614E-05
S5	-6.5530E-02	8.2803E-02	-5.0300E-02	1.6373E-02	-2.8800E-03	2.5800E-04	-8.7965E-06
S6	-3.9640E-02	2.4752E-02	-1.7720E-02	8.5570E-03	-2.4400E-03	3.9300E-04	-2.6821E-05
S7	-4.1500E-02	3.4680E-03	-2.4000E-04	-3.2800E-03	2.0540E-03	-4.6000E-04	3.6109E-05
S8	-2.6750E-02	5.4820E-03	-3.4000E-03	-1.5300E-03	1.5720E-03	-4.2000E-04	3.7760E-05
S9	-6.8610E-02	2.8996E-02	-8.8300E-03	1.5160E-03	-1.8000E-04	2.0000E-05	-4.0298E-06
S10	-8.3870E-02	4.2621E-02	-1.9890E-02	8.1850E-03	-2.3300E-03	3.9100E-04	-2.8016E-05
S11	-2.5960E-02	-9.2000E-04	4.0200E-04	-9.0000E-05	4.8700E-05	-8.4000E-06	4.4138E-07

S12	-1.0230E-02	-3.8800E-03	6.7900E-04	2.5400E-06	-5.3000E-06	1.0100E-07	1.2960E-08
S13	-1.6013E-01	9.6599E-02	-3.6890E-02	9.2080E-03	-1.4100E-03	1.1800E-04	-4.0854E-06
S14	-1.7514E-01	7.9941E-02	-2.2450E-02	4.0350E-03	-4.5000E-04	2.8000E-05	-7.2573E-07

[0085] 表2

[0086] 图2A示出了实施例1的光学成像镜头的轴上色差曲线,其表示不同波长的光线经由镜头后的会聚焦点偏离。图2B示出了实施例1的光学成像镜头的象散曲线,其表示子午像面弯曲和弧矢像面弯曲。图2C示出了实施例1的光学成像镜头的畸变曲线,其表示不同视场角对应的畸变大小值。图2D示出了实施例1的光学成像镜头的倍率色差曲线,其表示光线经由镜头后在成像面上的不同的像高的偏差。根据图2A至图2D可知,实施例1所给出的光学成像镜头能够实现良好的成像品质。

[0087] 实施例2

[0088] 以下参照图3至图4D描述根据本申请实施例2的光学成像镜头。图3示出了根据本申请实施例2的光学成像镜头的结构示意图。

[0089] 如图3所示,光学成像镜头沿光轴由物侧至像侧依序包括:光阑ST0、第一透镜E1、第二透镜E2、第三透镜E3、第四透镜E4、第五透镜E5、第六透镜E6、第七透镜E7、滤光片E8和成像面S17。

[0090] 第一透镜E1具有正光焦度,其物侧面S1为凸面,像侧面S2为凹面。第二透镜E2具有负光焦度,其物侧面S3为凸面,像侧面S4为凹面。第三透镜E3具有正光焦度,其物侧面S5为凸面,像侧面S6为凹面。第四透镜E4具有正光焦度,其物侧面S7为凸面,像侧面S8为凹面。第五透镜E5具有负光焦度,其物侧面S9为凹面,像侧面S10为凹面。第六透镜E6具有正光焦度,其物侧面S11为凸面,像侧面S12为凹面。第七透镜E7具有负光焦度,其物侧面S13为凹面,像侧面S14为凹面。滤光片E8具有物侧面S15和像侧面S16。来自物体的光依序穿过各表面S1至S16并最终成像在成像面S17上。

[0091] 在本实施例中,光学成像镜头的总有效焦距 $f=7.48\text{mm}$,从第一透镜E1的物侧面S1至成像面S17在光轴上的距离 $TTL=8.03\text{mm}$,以及成像面S17上有效像素区域对角线长的一半 $\text{ImgH}=3.52\text{mm}$ 。

[0092] 表3示出了实施例2的光学成像镜头的基本参数表,其中,曲率半径、厚度/距离和焦距的单位均为毫米(mm)。

面号	表面类型	曲率半径	厚度/距离	材料		焦距	圆锥系数
				折射率	色散系数		
OBJ	球面	无穷大	无穷大				
STO	球面	无穷大	-0.9000				
S1	非球面	3.0721	1.8945	1.54	55.7	6.34	0.0000
S2	非球面	24.7876	0.0300				0.0000
S3	非球面	3.8736	0.2500	1.68	19.2	-8.11	0.0000
S4	非球面	2.2123	0.0300				0.0000
S5	非球面	3.0164	0.8372	1.54	55.7	18.58	0.0000
S6	非球面	3.9055	0.5341				0.0000
S7	非球面	2.1179	0.2514	1.54	55.7	35.46	0.0000
S8	非球面	2.2843	0.7479				0.0000
S9	非球面	-20.3457	0.2500	1.65	23.5	-19.00	0.0000
S10	非球面	30.8025	0.4792				0.0000
S11	非球面	4.3028	0.6521	1.68	19.2	9.06	0.0000
S12	非球面	13.5014	1.0436				0.0000
S13	非球面	-13.4015	0.2500	1.54	55.7	-5.67	0.0000
S14	非球面	3.9633	0.0300				0.0000
S15	球面	无穷大	0.2100	1.52	64.2		
S16	球面	无穷大	0.5400				
S17	球面	无穷大					

[0094] 表3

[0095] 在实施例2中,第一透镜E1至第七透镜E7中的任意一个透镜的物侧面和像侧面均为非球面。下表4给出了可用于实施例2中各非球面镜面S1-S14的高次项系数 A_4 、 A_6 、 A_8 、 A_{10} 、 A_{12} 、 A_{14} 和 A_{16} 。

面号	A4	A6	A8	A10	A12	A14	A16
S1	-2.6000E-04	-3.6000E-04	5.7100E-05	1.9800E-05	-9.3000E-06	1.2639E-06	-6.1545E-08
S2	-1.1100E-03	8.9160E-03	-3.4900E-03	6.1500E-04	-5.4000E-05	2.1279E-06	-2.1329E-08
S3	-2.4060E-02	7.8060E-03	4.5600E-04	-1.1000E-03	2.9000E-04	-3.1001E-05	1.2131E-06
S4	-9.0700E-02	1.1811E-01	-9.9120E-02	4.9055E-02	-1.4100E-02	2.1475E-03	-1.3395E-04
S5	-6.5990E-02	8.8794E-02	-5.0070E-02	1.5067E-02	-2.4700E-03	2.0787E-04	-6.8941E-06
S6	-4.0090E-02	3.3095E-02	-2.3060E-02	1.0654E-02	-2.9600E-03	4.6411E-04	-3.0987E-05
S7	-6.9710E-02	1.4507E-02	-1.3830E-02	5.6050E-03	-1.0200E-03	1.0583E-04	-8.5102E-06
S8	-5.1630E-02	1.3709E-02	-1.5610E-02	7.3890E-03	-1.7600E-03	2.2961E-04	-1.4732E-05
S9	-6.5190E-02	4.8207E-02	-2.6460E-02	1.1130E-02	-3.7600E-03	7.7160E-04	-6.7443E-05
S10	-9.8710E-02	6.8187E-02	-3.6760E-02	1.5113E-02	-4.3700E-03	7.5186E-04	-5.4352E-05
S11	-4.6540E-02	4.7100E-03	2.0720E-03	-1.6700E-03	4.5900E-04	-5.4213E-05	2.3398E-06
S12	-2.0720E-02	-3.0100E-03	2.9410E-03	-1.0500E-03	1.8600E-04	-1.5142E-05	4.5380E-07
S13	-2.2795E-01	1.3792E-01	-4.8710E-02	1.0982E-02	-1.5700E-03	1.2546E-04	-4.1647E-06
S14	-2.4797E-01	1.2406E-01	-3.6570E-02	6.6980E-03	-7.6000E-04	4.7629E-05	-1.2647E-06

[0097] 表4

[0098] 表4

[0099] 图4A示出了实施例2的光学成像镜头的轴上色差曲线,其表示不同波长的光线经由镜头后的会聚焦点偏离。图4B示出了实施例2的光学成像镜头的象散曲线,其表示子午像面弯曲和弧矢像面弯曲。图4C示出了实施例2的光学成像镜头的畸变曲线,其表示不同视场角对应的畸变大小值。图4D示出了实施例2的光学成像镜头的倍率色差曲线,其表示光线经由镜头后在成像面上的不同的像高的偏差。根据图4A至图4D可知,实施例2所给出的光学成像镜头能够实现良好的成像品质。

[0100] 实施例3

[0101] 以下参照图5至图6D描述根据本申请实施例3的光学成像镜头。图5示出了根据本申请实施例3的光学成像镜头的结构示意图。

[0102] 如图5所示,光学成像镜头沿光轴由物侧至像侧依序包括:光阑STO、第一透镜E1、第二透镜E2、第三透镜E3、第四透镜E4、第五透镜E5、第六透镜E6、第七透镜E7、滤光片E8和成像面S17。

[0103] 第一透镜E1具有正光焦距,其物侧面S1为凸面,像侧面S2为凹面。第二透镜E2具有负光焦距,其物侧面S3为凸面,像侧面S4为凹面。第三透镜E3具有正光焦距,其物侧面S5为凸面,像侧面S6为凹面。第四透镜E4具有正光焦距,其物侧面S7为凸面,像侧面S8为凹面。第五透镜E5具有负光焦距,其物侧面S9为凸面,像侧面S10为凹面。第六透镜E6具有正光焦距,其物侧面S11为凸面,像侧面S12为凸面。第七透镜E7具有负光焦距,其物侧面S13为凹面,像侧面S14为凹面。滤光片E8具有物侧面S15和像侧面S16。来自物体的光依序穿过各表面S1至S16并最终成像在成像面S17上。

[0104] 在本实施例中,光学成像镜头的总有效焦距 $f=7.46\text{mm}$,从第一透镜E1的物侧面S1至成像面S17在光轴上的距离 $TTL=8.03\text{mm}$,以及成像面S17上有效像素区域对角线长的一半 $\text{ImgH}=3.50\text{mm}$ 。

[0105] 表5示出了实施例3的光学成像镜头的基本参数表,其中,曲率半径、厚度/距离和焦距的单位均为毫米(mm)。

面号	表面类型	曲率半径	厚度/距离	材料		焦距	圆锥系数
				折射率	色散系数		
OBJ	球面	无穷大	无穷大				
STO	球面	无穷大	-0.9000				
[0106] S1	非球面	3.0590	1.7903	1.54	55.7	7.12	0.0000
S2	非球面	12.1847	0.0300				0.0000
S3	非球面	3.6387	0.2500	1.68	19.2	-9.27	0.0000
S4	非球面	2.2403	0.0300				0.0000
S5	非球面	3.0060	0.9002	1.54	55.7	18.27	0.0000
S6	非球面	3.8817	0.4565				0.0000
S7	非球面	2.3245	0.3136	1.54	55.7	25.75	0.0000
S8	非球面	2.6630	0.6000				0.0000
S9	非球面	8.0042	0.2500	1.65	23.5	-25.90	0.0000
S10	非球面	5.3412	0.6395				0.0000
[0107] S11	非球面	7.2948	0.6626	1.68	19.2	9.81	0.0000
S12	非球面	-72.0424	1.0773				0.0000
S13	非球面	-4.8773	0.2500	1.54	55.7	-5.61	0.0000
S14	非球面	8.0171	0.0300				0.0000
S15	球面	无穷大	0.2100	1.52	64.2		
S16	球面	无穷大	0.5400				
S17	球面	无穷大					

[0108] 表5

[0109] 在实施例3中,第一透镜E1至第七透镜E7中的任意一个透镜的物侧面和像侧面均为非球面。下表6给出了可用于实施例3中各非球面镜面S1-S14的高次项系数 A_4 、 A_6 、 A_8 、 A_{10} 、 A_{12} 、 A_{14} 和 A_{16} 。

[0110]	面号	A4	A6	A8	A10	A12	A14	A16
	S1	-3.9000E-04	-4.0000E-05	-1.5000E-04	8.1700E-05	-1.9000E-05	2.1213E-06	-9.1971E-08
	S2	7.2900E-04	4.4090E-03	-1.6700E-03	3.0500E-04	-3.1000E-05	1.5756E-06	-3.0434E-08
	S3	-2.0580E-02	6.0090E-03	-6.0000E-04	-2.8000E-04	9.0900E-05	-1.0060E-05	3.9123E-07
	S4	-6.7860E-02	1.0779E-01	-1.1084E-01	6.0965E-02	-1.8170E-02	2.7606E-03	-1.6797E-04
	S5	-2.1860E-02	2.3021E-02	-8.6900E-03	1.3490E-03	4.9700E-05	-3.5794E-05	2.8678E-06
	S6	-2.9660E-02	1.5281E-02	-8.0300E-03	3.0360E-03	-6.6000E-04	8.3154E-05	-4.7256E-06
	S7	-4.0580E-02	2.6680E-03	1.6200E-05	-3.4900E-03	2.2220E-03	-5.2257E-04	4.4298E-05
	S8	-2.4910E-02	4.1080E-03	-2.7000E-03	-2.1200E-03	1.8930E-03	-4.9762E-04	4.4533E-05
	S9	-5.9930E-02	1.0730E-02	9.1460E-03	-9.5500E-03	3.6090E-03	-6.1972E-04	3.5366E-05
	S10	-7.0560E-02	2.0385E-02	-7.9000E-04	-2.9600E-03	1.4490E-03	-2.7117E-04	1.8312E-05
	S11	-1.1440E-02	-8.7400E-03	6.0280E-03	-3.2000E-03	9.0400E-04	-1.1735E-04	5.6690E-06
	S12	-1.9000E-03	-4.1600E-03	1.3560E-03	-7.5000E-04	1.9900E-04	-2.1916E-05	8.6269E-07
	S13	-1.3925E-01	9.5947E-02	-3.8360E-02	9.3550E-03	-1.3900E-03	1.1429E-04	-3.8865E-06
	S14	-1.6101E-01	8.5207E-02	-2.7740E-02	5.5810E-03	-6.8000E-04	4.5171E-05	-1.2495E-06

[0111] 表6

[0112] 图6A示出了实施例3的光学成像镜头的轴上色差曲线,其表示不同波长的光线经由镜头后的会聚焦点偏离。图6B示出了实施例3的光学成像镜头的象散曲线,其表示子午像面弯曲和弧矢像面弯曲。图6C示出了实施例3的光学成像镜头的畸变曲线,其表示不同视场角对应的畸变大小值。图6D示出了实施例3的光学成像镜头的倍率色差曲线,其表示光线经由镜头后在成像面上的不同的像高的偏差。根据图6A至图6D可知,实施例3所给出的光学成像镜头能够实现良好的成像品质。

[0113] 实施例4

[0114] 以下参照图7至图8D描述根据本申请实施例4的光学成像镜头。图7示出了根据本申请实施例4的光学成像镜头的结构示意图。

[0115] 如图7所示,光学成像镜头沿光轴由物侧至像侧依序包括:光阑ST0、第一透镜E1、第二透镜E2、第三透镜E3、第四透镜E4、第五透镜E5、第六透镜E6、第七透镜E7、滤光片E8和成像面S17。

[0116] 第一透镜E1具有正光焦距,其物侧面S1为凸面,像侧面S2为凹面。第二透镜E2具有负光焦距,其物侧面S3为凸面,像侧面S4为凹面。第三透镜E3具有正光焦距,其物侧面S5为凸面,像侧面S6为凹面。第四透镜E4具有正光焦距,其物侧面S7为凸面,像侧面S8为凹面。第五透镜E5具有负光焦距,其物侧面S9为凹面,像侧面S10为凸面。第六透镜E6具有正光焦距,其物侧面S11为凸面,像侧面S12为凹面。第七透镜E7具有负光焦距,其物侧面S13为凹面,像侧面S14为凹面。滤光片E8具有物侧面S15和像侧面S16。来自物体的光依序穿过各表面S1至S16并最终成像在成像面S17上。

[0117] 在本实施例中,光学成像镜头的总有效焦距 $f = 7.48\text{mm}$,从第一透镜E1的物侧面S1至成像面S17在光轴上的距离 $TTL = 8.03\text{mm}$,以及成像面S17上有效像素区域对角线长的一半 $ImgH = 3.53\text{mm}$ 。

[0118] 表7示出了实施例4的光学成像镜头的基本参数表,其中,曲率半径、厚度/距离和焦距的单位均为毫米(mm)。

面号	表面类型	曲率半径	厚度/距离	材料		焦距	圆锥系数
				折射率	色散系数		
OBJ	球面	无穷大	无穷大				
STO	球面	无穷大	-0.9000				
S1	非球面	3.0671	1.8132	1.54	55.7	6.48	0.0000
S2	非球面	20.7144	0.0300				0.0000
S3	非球面	4.0635	0.2500	1.68	19.2	-8.99	0.0000
S4	非球面	2.3768	0.0300				0.0000
S5	非球面	3.3385	0.9454	1.54	55.7	25.96	0.0000
S6	非球面	3.9562	0.4031				0.0000
S7	非球面	1.9802	0.2500	1.54	55.7	23.85	0.0000
S8	非球面	2.2393	0.7931				0.0000
S9	非球面	-11.1808	0.2500	1.65	23.5	-18.43	0.0000
S10	非球面	-197.1220	0.5129				0.0000
S11	非球面	4.5892	0.6367	1.68	19.2	9.37	0.0000
S12	非球面	15.6361	1.0855				0.0000
S13	非球面	-10.4998	0.2500	1.54	55.7	-5.67	0.0000
S14	非球面	4.3184	0.0300				0.0000
S15	球面	无穷大	0.2100	1.52	64.2		
S16	球面	无穷大	0.5400				
S17	球面	无穷大					

[0119] 表7

[0121] 在实施例4中,第一透镜E1至第七透镜E7中的任意一个透镜的物侧面和像侧面均为非球面。下表8给出了可用于实施例4中各非球面镜面S1-S14的高次项系数 A_4 、 A_6 、 A_8 、 A_{10} 、 A_{12} 、 A_{14} 和 A_{16} 。

面号	A4	A6	A8	A10	A12	A14	A16
S1	-1.5860E-02	2.5703E-02	-1.6010E-02	4.8510E-03	-7.7000E-04	6.1639E-05	-1.9629E-06
S2	1.4195E-02	-1.9200E-03	5.9600E-04	-2.8000E-04	5.6800E-05	-5.1193E-06	1.7013E-07
S3	-7.3800E-03	-1.9300E-03	2.9420E-03	-1.2400E-03	2.3400E-04	-2.0327E-05	6.5088E-07
S4	-3.1280E-02	2.4524E-02	-1.4840E-02	5.5870E-03	-1.3600E-03	1.9098E-04	-1.1550E-05
S5	-1.2610E-02	2.9319E-02	-1.5750E-02	4.1610E-03	-5.4000E-04	2.9722E-05	-2.5467E-07
S6	-4.2610E-02	2.8567E-02	-1.6990E-02	7.1820E-03	-1.9400E-03	3.0619E-04	-2.1008E-05
S7	-7.1350E-02	2.0317E-02	-3.1490E-02	2.1673E-02	-8.3500E-03	1.7479E-03	-1.5483E-04
S8	-3.5510E-02	-4.3900E-03	-4.6000E-04	-1.3900E-03	1.3860E-03	-3.9948E-04	3.8130E-05
S9	-5.2820E-02	4.2213E-02	-2.6490E-02	1.3024E-02	-4.8100E-03	1.0045E-03	-8.6629E-05
S10	-8.0330E-02	5.9487E-02	-3.6110E-02	1.6712E-02	-5.3000E-03	9.6519E-04	-7.2060E-05
S11	-3.6830E-02	2.4080E-03	2.5990E-03	-1.9800E-03	5.5500E-04	-6.7063E-05	2.9664E-06
S12	-1.5750E-02	-2.7800E-03	2.6880E-03	-1.1900E-03	2.4800E-04	-2.3502E-05	8.2841E-07
S13	-2.1400E-01	1.3552E-01	-5.0320E-02	1.1719E-02	-1.6900E-03	1.3578E-04	-4.5052E-06
S14	-2.3511E-01	1.2148E-01	-3.7550E-02	7.2000E-03	-8.4000E-04	5.4416E-05	-1.4708E-06

[0122] 表8

[0125] 图8A示出了实施例4的光学成像镜头的轴上色差曲线,其表示不同波长的光线经由镜头后的会聚焦点偏离。图8B示出了实施例4的光学成像镜头的象散曲线,其表示子午像面弯曲和弧矢像面弯曲。图8C示出了实施例4的光学成像镜头的畸变曲线,其表示不同视场角对应的畸变大小值。图8D示出了实施例4的光学成像镜头的倍率色差曲线,其表示光线经由镜头后在成像面上的不同的像高的偏差。根据图8A至图8D可知,实施例4所给出的光学成像镜头能够实现良好的成像品质。

[0126] 实施例5

[0127] 以下参照图9至图10D描述根据本申请实施例5的光学成像镜头。图9示出了根据本申请实施例5的光学成像镜头的结构示意图。

[0128] 如图9所示,光学成像镜头沿光轴由物侧至像侧依序包括:光阑STO、第一透镜E1、第二透镜E2、第三透镜E3、第四透镜E4、第五透镜E5、第六透镜E6、第七透镜E7、滤光片E8和成像面S17。

[0129] 第一透镜E1具有正光焦距,其物侧面S1为凸面,像侧面S2为凹面。第二透镜E2具有负光焦距,其物侧面S3为凸面,像侧面S4为凹面。第三透镜E3具有正光焦距,其物侧面S5为凸面,像侧面S6为凹面。第四透镜E4具有正光焦距,其物侧面S7为凸面,像侧面S8为凹面。第五透镜E5具有负光焦距,其物侧面S9为凸面,像侧面S10为凹面。第六透镜E6具有正光焦距,其物侧面S11为凸面,像侧面S12为凸面。第七透镜E7具有负光焦距,其物侧面S13为凹面,像侧面S14为凹面。滤光片E8具有物侧面S15和像侧面S16。来自物体的光依序穿过各表面S1至S16并最终成像在成像面S17上。

[0130] 在本实施例中,光学成像镜头的总有效焦距 $f = 7.30\text{mm}$,从第一透镜E1的物侧面S1至成像面S17在光轴上的距离 $TTL = 8.20\text{mm}$,以及成像面S17上有效像素区域对角线长的一半 $\text{ImgH} = 3.70\text{mm}$ 。

[0131] 表9示出了实施例5的光学成像镜头的基本参数表,其中,曲率半径、厚度/距离和焦距的单位均为毫米(mm)。

面号	表面类型	曲率半径	厚度/距离	材料		焦距	圆锥系数
				折射率	色散系数		
OBJ	球面	无穷大	无穷大				
STO	球面	无穷大	-1.2280				
[0132] S1	非球面	3.1982	1.8094	1.54	55.7	6.91	0.0000
S2	非球面	18.6777	0.0845				0.0000
S3	非球面	3.7370	0.2538	1.68	19.2	-9.34	0.0000
S4	非球面	2.2850	0.0300				-1.0000
S5	非球面	3.2366	0.9943	1.54	55.7	24.09	0.0000
S6	非球面	3.8543	0.4148				0.0000
S7	非球面	2.5174	0.3500	1.54	55.7	21.76	0.0000
[0133] S8	非球面	3.0535	0.6588				0.0000
S9	非球面	9.8808	0.3000	1.65	23.5	-32.81	0.0000
S10	非球面	6.6510	0.5337				0.0000
S11	非球面	10.7919	0.7000	1.68	19.2	10.82	0.0000
S12	非球面	-22.2435	0.9803				0.0000
S13	非球面	-14.3324	0.2800	1.54	55.7	-6.78	0.0000
S14	非球面	4.9103	0.0442				0.0000
S15	球面	无穷大	0.2100	1.52	64.2		
S16	球面	无穷大	0.5562				
S17	球面	无穷大					

[0134] 表9

[0135] 在实施例5中,第一透镜E1至第七透镜E7中的任意一个透镜的物侧面和像侧面均为非球面。下表10给出了可用于实施例5中各非球面镜面S1-S14的高次项系数 A_4 、 A_6 、 A_8 、 A_{10} 、 A_{12} 、 A_{14} 、 A_{16} 、 A_{18} 和 A_{20} 。

[0136]	面号	A4	A6	A8	A10	A12	A14	A16	A18	A20
--------	----	----	----	----	-----	-----	-----	-----	-----	-----

S1	-8.0000E-05	-1.1100E-03	8.6500E-04	-4.0000E-04	1.1532E-04	-2.0000E-05	2.1600E-06	-1.2000E-07	2.9731E-09
S2	1.4770E-03	4.6180E-03	-1.5700E-03	1.5800E-04	1.2447E-05	-3.4000E-06	9.3300E-08	1.6600E-08	-9.3285E-10
S3	-2.5770E-02	8.6110E-03	1.5040E-03	-2.5300E-03	9.6299E-04	-1.9000E-04	2.1300E-05	-1.3000E-06	3.2948E-08
S4	-3.1730E-02	2.8700E-02	-2.0310E-02	1.2428E-02	-5.2970E-03	1.4190E-03	-2.3000E-04	1.9500E-05	-7.0662E-07
S5	-1.2380E-02	2.5993E-02	-2.2570E-02	1.2849E-02	-4.4918E-03	9.2300E-04	-1.0000E-04	4.7100E-06	-1.0360E-08
S6	-2.7180E-02	2.1536E-02	-1.8960E-02	1.2620E-02	-5.7405E-03	1.7270E-03	-3.2000E-04	3.2900E-05	-1.4246E-06
S7	-4.0080E-02	6.4310E-03	4.2900E-04	-4.7800E-03	3.0861E-03	-9.3000E-04	1.6200E-04	-1.7000E-05	9.7081E-07
S8	-2.6330E-02	8.5610E-03	-1.1000E-02	1.0444E-02	-8.2376E-03	4.0750E-03	-1.1400E-03	1.6700E-04	-9.8943E-06
S9	-4.6370E-02	-1.0290E-02	5.4317E-02	-7.3520E-02	5.6584E-02	-2.6920E-02	7.7760E-03	-1.2500E-03	8.4404E-05
S10	-5.9060E-02	1.8329E-02	-4.0900E-03	8.3000E-04	-9.5250E-04	6.9600E-04	-2.2000E-04	3.1000E-05	-1.6872E-06
S11	-1.7210E-02	-3.9400E-03	-3.8000E-04	1.9930E-03	-1.6007E-03	5.9100E-04	-1.1000E-04	9.9000E-06	-3.5256E-07
S12	-6.5400E-03	5.2530E-03	-1.1680E-02	7.7000E-03	-2.8176E-03	6.0400E-04	-7.5000E-05	4.9300E-06	-1.3465E-07
S13	-1.1430E-01	8.1783E-02	-5.1550E-02	2.3219E-02	-7.1725E-03	1.4700E-03	-1.9000E-04	1.4000E-05	-4.4236E-07
S14	-1.2080E-01	6.9020E-02	-3.1090E-02	9.6440E-03	-2.0534E-03	2.9500E-04	-2.7000E-05	1.4200E-06	-3.2285E-08

[0137] 表10

[0138] 图10A示出了实施例5的光学成像镜头的轴上色差曲线,其表示不同波长的光线经由镜头后的会聚焦点偏离。图10B示出了实施例5的光学成像镜头的象散曲线,其表示子午像面弯曲和弧矢像面弯曲。图10C示出了实施例5的光学成像镜头的畸变曲线,其表示不同视场角对应的畸变大小值。图10D示出了实施例5的光学成像镜头的倍率色差曲线,其表示光线经由镜头后在成像面上的不同的像高的偏差。根据图10A至图10D可知,实施例5所给出的光学成像镜头能够实现良好的成像品质。

[0139] 实施例6

[0140] 以下参照图11至图12D描述根据本申请实施例6的光学成像镜头。图11示出了根据本申请实施例6的光学成像镜头的结构示意图。

[0141] 如图11所示,光学成像镜头沿光轴由物侧至像侧依序包括:光阑ST0、第一透镜E1、第二透镜E2、第三透镜E3、第四透镜E4、第五透镜E5、第六透镜E6、第七透镜E7、滤光片E8和成像面S17。

[0142] 第一透镜E1具有正光焦距,其物侧面S1为凸面,像侧面S2为凹面。第二透镜E2具有负光焦距,其物侧面S3为凸面,像侧面S4为凹面。第三透镜E3具有正光焦距,其物侧面S5为凸面,像侧面S6为凹面。第四透镜E4具有正光焦距,其物侧面S7为凸面,像侧面S8为凹面。第五透镜E5具有负光焦距,其物侧面S9为凸面,像侧面S10为凹面。第六透镜E6具有正光焦距,其物侧面S11为凸面,像侧面S12为凸面。第七透镜E7具有负光焦距,其物侧面S13为凹面,像侧面S14为凹面。滤光片E8具有物侧面S15和像侧面S16。来自物体的光依序穿过各表面S1至S16并最终成像在成像面S17上。

[0143] 在本实施例中,光学成像镜头的总有效焦距 $f=7.30\text{mm}$,从第一透镜E1的物侧面S1至成像面S17在光轴上的距离 $TTL=8.20\text{mm}$,以及成像面S17上有效像素区域对角线长的一半 $\text{ImgH}=3.70\text{mm}$ 。

[0144] 表11示出了实施例6的光学成像镜头的基本参数表,其中,曲率半径、厚度/距离和焦距的单位均为毫米(mm)。

面号	表面类型	曲率半径	厚度/距离	材料		焦距	圆锥系数
				折射率	色散系数		
OBJ	球面	无穷大	无穷大				
STO	球面	无穷大	-1.4853				
S1	非球面	3.1941	1.7721	1.54	55.7	6.83	0.0000
S2	非球面	19.9432	0.1037				0.0000
S3	非球面	3.9384	0.2391	1.68	19.2	-9.72	0.0000
S4	非球面	2.4045	0.0880				0.0000
S5	非球面	3.3448	0.9906	1.54	55.7	26.28	0.0000
S6	非球面	3.9313	0.4034				0.0000
S7	非球面	2.7416	0.3500	1.54	55.7	19.87	0.0000
S8	非球面	3.5261	0.6799				0.0000
S9	非球面	10.8413	0.3000	1.65	23.5	-41.98	0.0000
S10	非球面	7.6528	0.5086				0.0000
S11	非球面	18.2833	0.7000	1.68	19.2	13.89	0.0000
S12	非球面	-19.1053	0.9523				0.0000
S13	非球面	-8133.7500	0.2800	1.54	55.7	-6.90	0.0000
S14	非球面	3.7063	0.0661				0.0000
S15	球面	无穷大	0.2100	1.52	64.2		
S16	球面	无穷大	0.5562				
S17	球面	无穷大					

[0145] 表11

[0147] 在实施例6中,第一透镜E1至第七透镜E7中的任意一个透镜的物侧面和像侧面均为非球面。下表12给出了可用于实施例6中各非球面镜面S1-S14的高次项系数 A_4 、 A_6 、 A_8 、 A_{10} 、 A_{12} 、 A_{14} 、 A_{16} 、 A_{18} 和 A_{20} 。

面号	A4	A6	A8	A10	A12	A14	A16	A18	A20
S1	-2.8000E-04	-6.3000E-04	4.5602E-04	-2.1000E-04	5.9810E-05	-1.1000E-05	1.1600E-06	-6.8000E-08	1.6239E-09
S2	6.8990E-03	-2.7000E-04	9.1702E-04	-6.5000E-04	1.8746E-04	-2.9000E-05	2.4500E-06	-1.1000E-07	1.9620E-09
S3	-2.0440E-02	3.6800E-03	4.0536E-03	-3.2800E-03	1.0904E-03	-2.0000E-04	2.1500E-05	-1.3000E-06	3.1008E-08
S4	-6.1640E-02	1.5317E-01	-2.4112E-01	2.0437E-01	-1.0025E-01	2.9405E-02	-5.0900E-03	4.8100E-04	-1.9058E-05
S5	5.5700E-03	8.7200E-04	-7.4831E-04	7.8700E-04	-1.5717E-04	-8.4000E-05	4.4400E-05	-7.3000E-06	4.2276E-07
S6	-2.1060E-02	1.5167E-02	-1.3496E-02	9.3100E-03	-4.2843E-03	1.2770E-03	-2.3000E-04	2.2800E-05	-9.3738E-07
S7	-3.5430E-02	6.1380E-03	-2.8003E-03	-7.0000E-04	8.3986E-04	-2.6000E-04	5.1300E-05	-7.9000E-06	6.3711E-07
S8	-2.3550E-02	5.1080E-03	-6.6302E-03	5.0390E-03	-3.5689E-03	1.6910E-03	-4.5000E-04	6.0100E-05	-3.1768E-06
S9	-4.2500E-02	-4.3900E-03	3.2975E-02	-4.6870E-02	3.7252E-02	-1.8270E-02	5.4270E-03	-8.9000E-04	6.1159E-05
S10	-5.0740E-02	1.5564E-02	-9.0616E-03	8.8960E-03	-6.5867E-03	2.8880E-03	-7.0000E-04	8.7900E-05	-4.4378E-06
S11	-1.7260E-02	-1.2720E-02	9.3483E-03	-3.0300E-03	-4.3825E-04	5.4200E-04	-1.4000E-04	1.4600E-05	-5.8653E-07
S12	-9.9900E-03	4.4320E-03	-9.7025E-03	6.1070E-03	-2.1198E-03	4.2700E-04	-4.9000E-05	2.9700E-06	-7.3573E-08
S13	-1.3298E-01	9.6489E-02	-6.3098E-02	2.9728E-02	-9.5335E-03	1.9980E-03	-2.6000E-04	1.9000E-05	-5.9436E-07
S14	-1.3789E-01	7.7926E-02	-3.5053E-02	1.0950E-02	-2.3609E-03	3.4200E-04	-3.1000E-05	1.6400E-06	-3.6744E-08

[0148] 表12

[0151] 图12A示出了实施例6的光学成像镜头的轴上色差曲线,其表示不同波长的光线经由镜头后的会聚焦点偏离。图12B示出了实施例6的光学成像镜头的象散曲线,其表示子午像面弯曲和弧矢像面弯曲。图12C示出了实施例6的光学成像镜头的畸变曲线,其表示不同视场角对应的畸变大小值。图12D示出了实施例6的光学成像镜头的倍率色差曲线,其表示光线经由镜头后在成像面上的不同的像高的偏差。根据图12A至图12D可知,实施例6所给出的光学成像镜头能够实现良好的成像品质。

[0152] 实施例7

[0153] 以下参照图13至图14D描述根据本申请实施例7的光学成像镜头。图13示出了根据本申请实施例7的光学成像镜头的结构示意图。

[0154] 如图13所示,光学成像镜头沿光轴由物侧至像侧依序包括:光阑STO、第一透镜E1、第二透镜E2、第三透镜E3、第四透镜E4、第五透镜E5、第六透镜E6、第七透镜E7、滤光片E8和成像面S17。

[0155] 第一透镜E1具有正光焦距,其物侧面S1为凸面,像侧面S2为凹面。第二透镜E2具有负光焦距,其物侧面S3为凸面,像侧面S4为凹面。第三透镜E3具有正光焦距,其物侧面S5为凸面,像侧面S6为凹面。第四透镜E4具有正光焦距,其物侧面S7为凸面,像侧面S8为凹面。第五透镜E5具有负光焦距,其物侧面S9为凸面,像侧面S10为凹面。第六透镜E6具有正光焦距,其物侧面S11为凸面,像侧面S12为凹面。第七透镜E7具有负光焦距,其物侧面S13为凸面,像侧面S14为凹面。滤光片E8具有物侧面S15和像侧面S16。来自物体的光依序穿过各表面S1至S16并最终成像在成像面S17上。

[0156] 在本实施例中,光学成像镜头的总有效焦距 $f=7.30\text{mm}$,从第一透镜E1的物侧面S1至成像面S17在光轴上的距离 $TTL=8.10\text{mm}$,以及成像面S17上有效像素区域对角线长的一半 $\text{ImgH}=3.70\text{mm}$ 。

[0157] 表13示出了实施例7的光学成像镜头的基本参数表,其中,曲率半径、厚度/距离和焦距的单位均为毫米(mm)。

面号	表面类型	曲率半径	厚度/距离	材料		焦距	圆锥系数
				折射率	色散系数		
OBJ	球面	无穷大	无穷大				
STO	球面	无穷大	-1.4457				
S1	非球面	3.1802	1.5164	1.54	55.7	6.54	0.0000
S2	非球面	28.0923	0.0796				0.0000
S3	非球面	4.3405	0.2385	1.68	19.2	-10.96	0.0000
S4	非球面	2.6783	0.1182				0.0000
S5	非球面	3.8388	1.0350	1.54	55.7	40.42	0.0000
S6	非球面	4.2250	0.4185				0.0000
S7	非球面	3.0386	0.4232	1.54	55.7	21.01	0.0000
S8	非球面	3.9570	0.7241				0.0000
S9	非球面	21.4033	0.3000	1.65	23.5	-61.52	0.0000
S10	非球面	13.8157	0.4548				0.0000
S11	非球面	15.1272	0.7000	1.68	19.2	22.34	0.0000
S12	非球面	30327.8800	0.8678				0.0000
S13	非球面	16.2061	0.3200	1.54	55.7	-7.49	0.0000
S14	非球面	3.1984	0.1378				0.0000
S15	球面	无穷大	0.2100	1.52	64.2		
S16	球面	无穷大	0.5562				
S17	球面	无穷大					

[0160] 表13

[0161] 在实施例7中,第一透镜E1至第七透镜E7中的任意一个透镜的物侧面和像侧面均为非球面。下表14给出了可用于实施例7中各非球面镜面S1-S14的高次项系数 A_4 、 A_6 、 A_8 、 A_{10} 、 A_{12} 、 A_{14} 、 A_{16} 、 A_{18} 和 A_{20} 。

面号	A4	A6	A8	A10	A12	A14	A16	A18	A20

S1	-5.7200E-04	-7.3006E-04	6.1605E-04	-3.2000E-04	9.7541E-05	-1.9000E-05	2.0900E-06	-1.3000E-07	3.2422E-09
S2	7.0526E-03	2.0885E-03	-1.7380E-03	6.7900E-04	-1.8554E-04	3.3800E-05	-3.8000E-06	2.2700E-07	-5.6483E-09
S3	-1.4053E-02	2.8867E-03	8.6483E-04	-8.8000E-04	2.8188E-04	-4.8000E-05	4.6000E-06	-2.5000E-07	5.6912E-09
S4	-1.2207E-02	-1.4799E-03	1.4125E-03	6.9600E-05	-3.5047E-04	1.4100E-04	-2.7000E-05	2.5700E-06	-1.0255E-07
S5	1.5203E-02	-3.0718E-03	1.3035E-04	9.3100E-04	-5.4402E-04	1.7100E-04	-3.4000E-05	3.9700E-06	-2.0757E-07
S6	-1.8044E-02	9.8595E-03	-6.3519E-03	3.9270E-03	-1.6411E-03	4.4100E-04	-7.0000E-05	5.8500E-06	-1.9380E-07
S7	-3.4402E-02	3.0045E-03	-2.4942E-03	1.8540E-03	-1.0963E-03	4.6800E-04	-1.2000E-04	1.5000E-05	-7.4173E-07
S8	-2.2400E-02	-2.6690E-04	-2.1819E-03	1.7450E-03	-8.7652E-04	2.7900E-04	-4.5000E-05	2.2300E-06	1.4194E-07
S9	-2.5147E-02	-2.5581E-02	7.1300E-02	-9.7760E-02	7.8804E-02	-3.9330E-02	1.1860E-02	-1.9700E-03	1.3886E-04
S10	-4.0980E-02	1.8847E-02	-2.2513E-02	2.4963E-02	-1.7041E-02	6.7440E-03	-1.5100E-03	1.7600E-04	-8.4242E-06
S11	-2.5923E-02	-1.5930E-02	1.5668E-02	-6.0800E-03	-1.5227E-04	7.7600E-04	-2.2000E-04	2.5700E-05	-1.1098E-06
S12	-1.7194E-02	3.6462E-03	-7.3090E-03	4.5680E-03	-1.5190E-03	2.8000E-04	-2.7000E-05	1.2100E-06	-1.4354E-08
S13	-1.2891E-01	7.6048E-02	-4.0527E-02	1.5979E-02	-4.3659E-03	7.9000E-04	-8.9000E-05	5.7500E-06	-1.5966E-07
S14	-1.4578E-01	8.3922E-02	-4.1318E-02	1.4258E-02	-3.3132E-03	5.0200E-04	-4.7000E-05	2.4900E-06	-5.6004E-08

[0163] 表14

[0164] 图14A示出了实施例7的光学成像镜头的轴上色差曲线,其表示不同波长的光线经由镜头后的会聚焦点偏离。图14B示出了实施例7的光学成像镜头的象散曲线,其表示子午像面弯曲和弧矢像面弯曲。图14C示出了实施例7的光学成像镜头的畸变曲线,其表示不同视场角对应的畸变大小值。图14D示出了实施例7的光学成像镜头的倍率色差曲线,其表示光线经由镜头后在成像面上的不同的像高的偏差。根据图14A至图14D可知,实施例7所给出的光学成像镜头能够实现良好的成像品质。

[0165] 实施例8

[0166] 以下参照图15至图16D描述根据本申请实施例8的光学成像镜头。图15示出了根据本申请实施例8的光学成像镜头的结构示意图。

[0167] 如图15所示,光学成像镜头沿光轴由物侧至像侧依序包括:光阑ST0、第一透镜E1、第二透镜E2、第三透镜E3、第四透镜E4、第五透镜E5、第六透镜E6、第七透镜E7、滤光片E8和成像面S17。

[0168] 第一透镜E1具有正光焦距,其物侧面S1为凸面,像侧面S2为凹面。第二透镜E2具有负光焦距,其物侧面S3为凸面,像侧面S4为凹面。第三透镜E3具有正光焦距,其物侧面S5为凸面,像侧面S6为凹面。第四透镜E4具有正光焦距,其物侧面S7为凸面,像侧面S8为凹面。第五透镜E5具有负光焦距,其物侧面S9为凸面,像侧面S10为凹面。第六透镜E6具有正光焦距,其物侧面S11为凸面,像侧面S12为凸面。第七透镜E7具有负光焦距,其物侧面S13为凸面,像侧面S14为凹面。滤光片E8具有物侧面S15和像侧面S16。来自物体的光依序穿过各表面S1至S16并最终成像在成像面S17上。

[0169] 在本实施例中,光学成像镜头的总有效焦距 $f=7.30\text{mm}$,从第一透镜E1的物侧面S1至成像面S17在光轴上的距离 $TTL=8.10\text{mm}$,以及成像面S17上有效像素区域对角线长的一半 $\text{ImgH}=3.70\text{mm}$ 。

[0170] 表15示出了实施例8的光学成像镜头的基本参数表,其中,曲率半径、厚度/距离和焦距的单位均为毫米(mm)。

面号	表面类型	曲率半径	厚度/距离	材料		焦距	圆锥系数
				折射率	色散系数		
OBJ	球面	无穷大	无穷大				
STO	球面	无穷大	-1.4359				
S1	非球面	3.1729	1.4936	1.54	55.7	6.41	0.0000
S2	非球面	34.3794	0.0300				0.0000
S3	非球面	4.2904	0.3000	1.68	19.2	-10.54	0.0000
S4	非球面	2.6041	0.1513				0.0000
S5	非球面	3.9060	1.0689	1.54	55.7	29.84	0.0000
S6	非球面	4.6725	0.4086				0.0000
[0171] S7	非球面	3.2224	0.3964	1.54	55.7	27.56	0.0000
S8	非球面	3.9431	0.7475				0.0000
S9	非球面	27.7092	0.3000	1.65	23.5	-47.64	0.0000
S10	非球面	14.4918	0.3834				0.0000
S11	非球面	17.8254	0.7000	1.68	19.2	22.30	0.0000
S12	非球面	-97.4928	0.8195				0.0000
S13	非球面	6.1559	0.3200	1.54	55.7	-8.38	0.0000
S14	非球面	2.5518	0.2146				-1.0000
S15	球面	无穷大	0.2100	1.52	64.2		
S16	球面	无穷大	0.5567				
S17	球面	无穷大					

[0172] 表15

[0173] 在实施例8中,第一透镜E1至第七透镜E7中的任意一个透镜的物侧面和像侧面均为非球面。下表16给出了可用于实施例8中各非球面镜面S1-S14的高次项系数 A_4 、 A_6 、 A_8 、 A_{10} 、 A_{12} 、 A_{14} 、 A_{16} 、 A_{18} 和 A_{20} 。

面号	A4	A6	A8	A10	A12	A14	A16	A18	A20
S1	-4.8900E-04	-8.7633E-04	7.2484E-04	-3.7000E-04	1.0912E-04	-2.0000E-05	2.1600E-06	-1.3000E-07	3.0075E-09
S2	9.3695E-03	8.2035E-04	-1.4372E-03	6.5500E-04	-1.8435E-04	3.2000E-05	-3.2000E-06	1.7000E-07	-3.5368E-09
S3	-1.1968E-02	4.2376E-03	-2.1081E-03	9.4300E-04	-3.0136E-04	6.1200E-05	-7.3000E-06	4.7300E-07	-1.2528E-08
S4	-1.4699E-02	6.7051E-03	-7.6913E-03	5.0740E-03	-1.9862E-03	4.8800E-04	-7.5000E-05	6.6000E-06	-2.5371E-07
[0174] S5	1.5076E-02	-2.1682E-05	-9.7812E-04	9.7800E-05	2.6183E-04	-1.1000E-04	1.4800E-05	-4.7000E-07	-3.4722E-08
S6	-1.5662E-02	1.1301E-02	-9.5052E-03	7.4020E-03	-3.9422E-03	1.3670E-03	-2.9000E-04	3.3500E-05	-1.6264E-06
S7	-3.7690E-02	3.5742E-03	-1.6839E-03	9.2100E-04	-4.0873E-04	1.9600E-04	-6.0000E-05	8.9000E-06	-4.6777E-07
S8	-2.7158E-02	5.4597E-04	-2.5766E-03	2.8770E-03	-2.0671E-03	1.0030E-03	-3.0000E-04	4.9800E-05	-3.4432E-06
S9	-2.6163E-02	-1.8541E-02	5.8694E-02	-8.6610E-02	7.3474E-02	-3.8370E-02	1.2069E-02	-2.0900E-03	1.5326E-04
S10	-4.3466E-02	2.3415E-02	-2.7082E-02	2.7867E-02	-1.8334E-02	7.0900E-03	-1.5500E-03	1.7900E-04	-8.3981E-06
[0175] S11	-2.9679E-02	-2.0073E-02	2.6267E-02	-1.4590E-02	3.2165E-03	8.4000E-05	-1.5000E-04	2.3700E-05	-1.1791E-06
S12	-2.1627E-02	4.9666E-03	-5.9146E-03	2.8260E-03	-6.4753E-04	4.0900E-05	1.0000E-05	-1.9000E-06	9.1528E-08
S13	-1.4647E-01	7.5940E-02	-3.6146E-02	1.3310E-02	-3.5251E-03	6.3200E-04	-7.2000E-05	4.6700E-06	-1.3220E-07
S14	-1.5168E-01	7.4011E-02	-2.8442E-02	7.7600E-03	-1.4910E-03	1.9800E-04	-1.7000E-05	8.6900E-07	-1.9245E-08

[0176] 表16

[0177] 图16A示出了实施例8的光学成像镜头的轴上色差曲线,其表示不同波长的光线经由镜头后的会聚焦点偏离。图16B示出了实施例8的光学成像镜头的象散曲线,其表示子午像面弯曲和弧矢像面弯曲。图16C示出了实施例8的光学成像镜头的畸变曲线,其表示不同视场角对应的畸变大小值。图16D示出了实施例8的光学成像镜头的倍率色差曲线,其表示光线经由镜头后在成像面上的不同的像高的偏差。根据图16A至图16D可知,实施例8所给出的光学成像镜头能够实现良好的成像品质。

[0178] 实施例9

[0179] 以下参照图17至图18D描述根据本申请实施例9的光学成像镜头。图17示出了根据本申请实施例9的光学成像镜头的结构示意图。

[0180] 如图17所示,光学成像镜头沿光轴由物侧至像侧依序包括:光阑STO、第一透镜E1、第二透镜E2、第三透镜E3、第四透镜E4、第五透镜E5、第六透镜E6、第七透镜E7、滤光片E8和成像面S17。

[0181] 第一透镜E1具有正光焦距,其物侧面S1为凸面,像侧面S2为凸面。第二透镜E2具有负光焦距,其物侧面S3为凸面,像侧面S4为凹面。第三透镜E3具有正光焦距,其物侧面S5为凸面,像侧面S6为凹面。第四透镜E4具有正光焦距,其物侧面S7为凸面,像侧面S8为凹面。第五透镜E5具有负光焦距,其物侧面S9为凸面,像侧面S10为凹面。第六透镜E6具有正光焦距,其物侧面S11为凸面,像侧面S12为凹面。第七透镜E7具有负光焦距,其物侧面S13为凸面,像侧面S14为凹面。滤光片E8具有物侧面S15和像侧面S16。来自物体的光依序穿过各表面S1至S16并最终成像在成像面S17上。

[0182] 在本实施例中,光学成像镜头的总有效焦距 $f=7.26\text{mm}$,从第一透镜E1的物侧面S1至成像面S17在光轴上的距离 $TTL=8.03\text{mm}$,以及成像面S17上有效像素区域对角线长的一半 $ImgH=3.70\text{mm}$ 。

[0183] 表17示出了实施例9的光学成像镜头的基本参数表,其中,曲率半径、厚度/距离和焦距的单位均为毫米(mm)。

面号	表面类型	曲率半径	厚度/距离	材料		焦距	圆锥系数
				折射率	色散系数		
OBJ	球面	无穷大	无穷大				
STO	球面	无穷大	-1.4930				
S1	非球面	3.1488	1.7462	1.54	55.7	5.58	0.0000
S2	非球面	-50.0750	0.0437				0.0000
S3	非球面	4.8462	0.3299	1.68	19.2	-9.06	0.0000
S4	非球面	2.6339	0.1274				0.0000
S5	非球面	4.7152	0.9507	1.54	55.7	36.19	0.0000
S6	非球面	5.7885	0.3649				0.0000
S7	非球面	3.3210	0.3501	1.54	55.7	48.23	0.0000
S8	非球面	3.6695	0.7600				0.0000
S9	非球面	16.4065	0.3000	1.65	23.5	-25.09	0.0000
S10	非球面	8.0790	0.3638				0.0000
S11	非球面	8.5877	0.7000	1.68	19.2	15.92	0.0000
S12	非球面	40.7391	0.7766				0.0000
S13	非球面	4.4887	0.3200	1.54	55.7	-7.95	0.0000
S14	非球面	2.1333	0.1303				-1.0000
S15	球面	无穷大	0.2100	1.52	64.2		
S16	球面	无穷大	0.5567				
S17	球面	无穷大					

[0186] 表17

[0187] 在实施例9中,第一透镜E1至第七透镜E7中的任意一个透镜的物侧面和像侧面均为非球面。下表18给出了可用于实施例9中各非球面镜面S1-S14的高次项系数 A_4 、 A_6 、 A_8 、 A_{10} 、 A_{12} 、 A_{14} 、 A_{16} 、 A_{18} 和 A_{20} 。

面号	A4	A6	A8	A10	A12	A14	A16	A18	A20
S1	-5.2400E-04	-7.9732E-04	5.1835E-04	-2.3000E-04	6.3769E-05	-1.1000E-05	1.0400E-06	-5.1000E-08	8.8307E-10

S2	2.3465E-02	+1.6183E-02	1.0272E-02	-4.2800E-03	1.1281E-03	-1.9000E-04	1.9600E-05	-1.2000E-06	2.9797E-08
S3	-5.3900E-04	+1.5194E-02	1.3589E-02	-6.2400E-03	1.6892E-03	-2.8000E-04	2.7800E-05	-1.5000E-06	3.6437E-08
S4	-1.1642E-02	-5.0927E-03	5.1185E-03	+3.0000E-03	1.1917E-03	-3.0000E-04	4.4300E-05	-3.4000E-06	1.0090E-07
S5	2.3750E-02	-1.3531E-02	1.4045E-02	-1.2020E-02	6.4401E-03	-2.0400E-03	3.7300E-04	-3.7000E-05	1.4934E-06
S6	-1.2069E-02	8.4263E-03	-7.0201E-03	4.3320E-03	-1.7161E-03	4.3900E-04	-7.0000E-05	6.2100E-06	-2.3801E-07
S7	-3.4385E-02	-2.0014E-03	1.0083E-02	-1.3330E-02	9.5355E-03	-4.0200E-03	1.0120E-03	-1.4000E-04	8.2222E-06
S8	-2.5590E-02	-4.1876E-03	1.2507E-02	-1.8630E-02	1.5137E-02	-7.3600E-03	2.1340E-03	-3.4000E-04	2.2679E-05
S9	-2.6900E-02	-6.9234E-02	1.9922E-01	-2.8847E-01	2.4821E-01	-1.3226E-01	4.2655E-02	-7.6300E-03	5.7972E-04
S10	-6.5548E-02	3.3408E-02	-2.3382E-02	1.9106E-02	-1.2656E-02	5.2060E-03	-1.2100E-03	1.4700E-04	-7.2057E-06
S11	-3.8433E-02	-8.3076E-03	1.3994E-02	-7.8300E-03	1.4672E-03	2.3000E-04	-1.3000E-04	1.8600E-05	-8.9721E-07
S12	-2.7091E-02	1.3608E-02	-1.4023E-02	6.7190E-03	-1.6617E-03	1.7600E-04	4.1200E-06	-2.3000E-06	1.3020E-07
S13	-1.9861E-01	1.3325E-01	-7.3210E-02	2.8250E-02	-7.4299E-03	1.2940E-03	-1.4000E-04	8.8500E-06	-2.3904E-07
S14	-2.1440E-01	1.2910E-01	-5.5891E-02	1.6143E-02	-3.1058E-03	3.9400E-04	-3.2000E-05	1.4500E-06	-2.9063E-08

[0189] 表18

[0190] 图18A示出了实施例9的光学成像镜头的轴上色差曲线,其表示不同波长的光线经由镜头后的会聚焦点偏离。图18B示出了实施例9的光学成像镜头的象散曲线,其表示子午像面弯曲和弧矢像面弯曲。图18C示出了实施例9的光学成像镜头的畸变曲线,其表示不同视场角对应的畸变大小值。图18D示出了实施例9的光学成像镜头的倍率色差曲线,其表示光线经由镜头后在成像面上的不同的像高的偏差。根据图18A至图18D可知,实施例9所给出的光学成像镜头能够实现良好的成像品质。

[0191] 实施例10

[0192] 以下参照图19至图20D描述根据本申请实施例10的光学成像镜头。图19示出了根据本申请实施例10的光学成像镜头的结构示意图。

[0193] 如图19所示,光学成像镜头沿光轴由物侧至像侧依序包括:光阑ST0、第一透镜E1、第二透镜E2、第三透镜E3、第四透镜E4、第五透镜E5、第六透镜E6、第七透镜E7、滤光片E8和成像面S17。

[0194] 第一透镜E1具有正光焦度,其物侧面S1为凸面,像侧面S2为凸面。第二透镜E2具有负光焦度,其物侧面S3为凸面,像侧面S4为凹面。第三透镜E3具有正光焦度,其物侧面S5为凸面,像侧面S6为凹面。第四透镜E4具有正光焦度,其物侧面S7为凸面,像侧面S8为凹面。第五透镜E5具有负光焦度,其物侧面S9为凸面,像侧面S10为凹面。第六透镜E6具有正光焦度,其物侧面S11为凸面,像侧面S12为凸面。第七透镜E7具有负光焦度,其物侧面S13为凸面,像侧面S14为凹面。滤光片E8具有物侧面S15和像侧面S16。来自物体的光依序穿过各表面S1至S16并最终成像在成像面S17上。

[0195] 在本实施例中,光学成像镜头的总有效焦距 $f=7.26\text{mm}$,从第一透镜E1的物侧面S1至成像面S17在光轴上的距离 $TTL=8.05\text{mm}$,以及成像面S17上有效像素区域对角线长的一半 $\text{ImgH}=3.70\text{mm}$ 。

[0196] 表19示出了实施例10的光学成像镜头的基本参数表,其中,曲率半径、厚度/距离和焦距的单位均为毫米(mm)。

面号	表面类型	曲率半径	厚度/距离	材料		焦距	圆锥系数
				折射率	色散系数		
OBJ	球面	无穷大	无穷大				
STO	球面	无穷大	-1.4800				
S1	非球面	3.0524	1.8054	1.54	55.7	5.24	0.0000
S2	非球面	-28.1259	0.0300				0.0000
S3	非球面	4.9994	0.3300	1.68	19.2	-9.10	0.0000
S4	非球面	2.6866	0.1392				0.0000
S5	非球面	5.7897	0.8732	1.54	55.7	150.96	0.0000
S6	非球面	5.9068	0.2621				0.0000
S7	非球面	3.0769	0.3500	1.54	55.7	40.27	0.0000
S8	非球面	3.4451	0.7871				0.0000
S9	非球面	47.1345	0.3200	1.65	23.5	-21.87	0.0000
S10	非球面	10.8068	0.3339				0.0000
S11	非球面	11.0708	0.7000	1.68	19.2	15.90	0.0000
S12	非球面	-389.1610	0.7355				0.0000
S13	非球面	4.2276	0.3600	1.54	55.7	-9.73	0.0000
S14	非球面	2.2666	0.1926				-1.0000
S15	球面	无穷大	0.2100	1.52	64.2		
S16	球面	无穷大	0.6190				
S17	球面	无穷大					

[0197] 表19

[0199] 在实施例10中,第一透镜E1至第七透镜E7中的任意一个透镜的物侧面和像侧面均为非球面。下表20给出了可用于实施例10中各非球面镜面S1-S14的高次项系数 A_4 、 A_6 、 A_8 、 A_{10} 、 A_{12} 、 A_{14} 、 A_{16} 、 A_{18} 和 A_{20} 。

面号	A4	A6	A8	A10	A12	A14	A16	A18	A20
S1	-8.6300E-04	-3.2705E-04	1.0530E-04	-3.2000E-05	6.4892E-07	1.5700E-06	-4.2000E-07	4.4413E-08	-1.7820E-09
S2	2.3858E-02	-1.3531E-02	7.5766E-03	-3.1100E-03	8.2834E-04	-1.4000E-04	1.4900E-05	-8.9570E-07	2.3343E-08
S3	-5.1110E-03	-9.5752E-03	9.0354E-03	-4.2600E-03	1.1841E-03	-2.0000E-04	2.0300E-05	-1.1392E-06	2.7472E-08
S4	-1.1128E-02	-4.0237E-03	3.6359E-03	-2.4100E-03	1.0829E-03	-2.9000E-04	4.1700E-05	-3.0572E-06	8.5152E-08
S5	3.4121E-02	-1.6166E-02	1.2938E-02	-1.0670E-02	5.8086E-03	-1.8700E-03	3.4700E-04	-3.4562E-05	1.4292E-06
S6	-8.4810E-03	4.3418E-03	-4.0800E-03	2.8530E-03	-1.1733E-03	2.8700E-04	-4.1000E-05	3.1265E-06	-9.9970E-08
S7	-3.4699E-02	-3.6382E-03	1.0949E-02	-1.4540E-02	1.1113E-02	-5.0400E-03	1.3480E-03	-1.9549E-04	1.1817E-05
S8	-2.0099E-02	-1.4504E-02	3.1094E-02	-4.2770E-02	3.5455E-02	-1.7970E-02	5.4420E-03	-9.0128E-04	6.2608E-05
S9	-1.9663E-02	-6.6299E-02	1.7395E-01	-2.5331E-01	2.2346E-01	-1.2307E-01	4.1190E-02	-7.6643E-03	6.0777E-04
S10	-4.3133E-02	4.8840E-03	5.6205E-03	-3.9700E-03	-3.9571E-05	8.1000E-04	-2.9000E-04	4.2140E-05	-2.2505E-06
S11	-2.5066E-02	-2.1114E-02	2.8455E-02	-1.9470E-02	7.1450E-03	-1.4100E-03	1.4300E-04	-5.9398E-06	1.4323E-08
S12	-2.0796E-02	7.9229E-03	-8.9800E-03	3.4770E-03	-3.5231E-04	-1.5000E-04	5.1600E-05	-6.1519E-06	2.6104E-07
S13	-1.4781E-01	7.3766E-02	-3.3594E-02	1.1281E-02	-2.7537E-03	4.8300E-04	-5.8000E-05	4.1035E-06	-1.3019E-07
S14	-1.5290E-01	7.1311E-02	-2.5635E-02	6.3230E-03	-1.0807E-03	1.3000E-04	-1.1000E-05	5.2094E-07	-1.1549E-08

[0201] 表20

[0202] 图20A示出了实施例10的光学成像镜头的轴上色差曲线,其表示不同波长的光线经由镜头后的会聚焦点偏离。图20B示出了实施例10的光学成像镜头的象散曲线,其表示子午像面弯曲和弧矢像面弯曲。图20C示出了实施例10的光学成像镜头的畸变曲线,其表示不同视场角对应的畸变大小值。图20D示出了实施例10的光学成像镜头的倍率色差曲线,其表示光线经由镜头后在成像面上的不同的像高的偏差。根据图20A至图20D可知,实施例10所给出的光学成像镜头能够实现良好的成像品质。

[0204] 综上,实施例1至实施例10分别满足表21中所示的关系。

条件式/实施例	1	2	3	4	5	6	7	8	9	10
EPD/TAN (Semi-FOV) (mm)	13.09	12.67	12.42	12.13	11.12	11.88	11.84	11.96	11.97	11.90
f/EPD	1.28	1.33	1.35	1.38	1.39	1.28	1.28	1.28	1.28	1.30
TTL/EPD	1.38	1.42	1.45	1.49	1.56	1.44	1.42	1.42	1.42	1.44
$(f2+f7)/(f1+f6)$	-0.79	-0.89	-0.88	-0.93	-0.91	-0.80	-0.64	-0.66	-0.79	-0.89
$(R3+R4)/(R5+R6)$	1.06	0.88	0.85	0.88	0.85	0.87	0.87	0.80	0.71	0.66
$(R7 \times R8)/f4$ (mm)	0.28	0.14	0.24	0.19	0.35	0.49	0.57	0.46	0.25	0.26
f (mm)	7.46	7.48	7.46	7.48	7.30	7.30	7.30	7.30	7.26	7.26
$(T34+T45)/(T56+T67)$	0.70	0.84	0.62	0.75	0.71	0.74	0.86	0.96	0.99	0.98
CT1/TTL \times 5	1.16	1.18	1.11	1.13	1.10	1.08	0.94	0.92	1.09	1.12
SAG11/ImgH	0.59	0.58	0.59	0.58	0.43	0.44	0.42	0.41	0.41	0.40
SAG31/(SAG41-SAG71)	0.59	0.57	0.61	0.62	0.56	0.59	0.79	0.87	0.73	0.66
f123/f	1.30	1.18	1.25	1.24	1.32	1.30	1.25	1.17	1.09	1.11

[0206] 表21

[0207] 以上描述仅为本申请的较佳实施例以及对所运用技术原理的说明。本领域技术人员应当理解,本申请中所涉及的发明范围,并不限于上述技术特征的特定组合而成的技术方案,同时也应涵盖在不脱离所述发明构思的情况下,由上述技术特征或其等同特征进行任意组合而形成的其它技术方案。例如上述特征与本申请中公开的(但不限于)具有类似功能的技术特征进行互相替换而形成的技术方案。

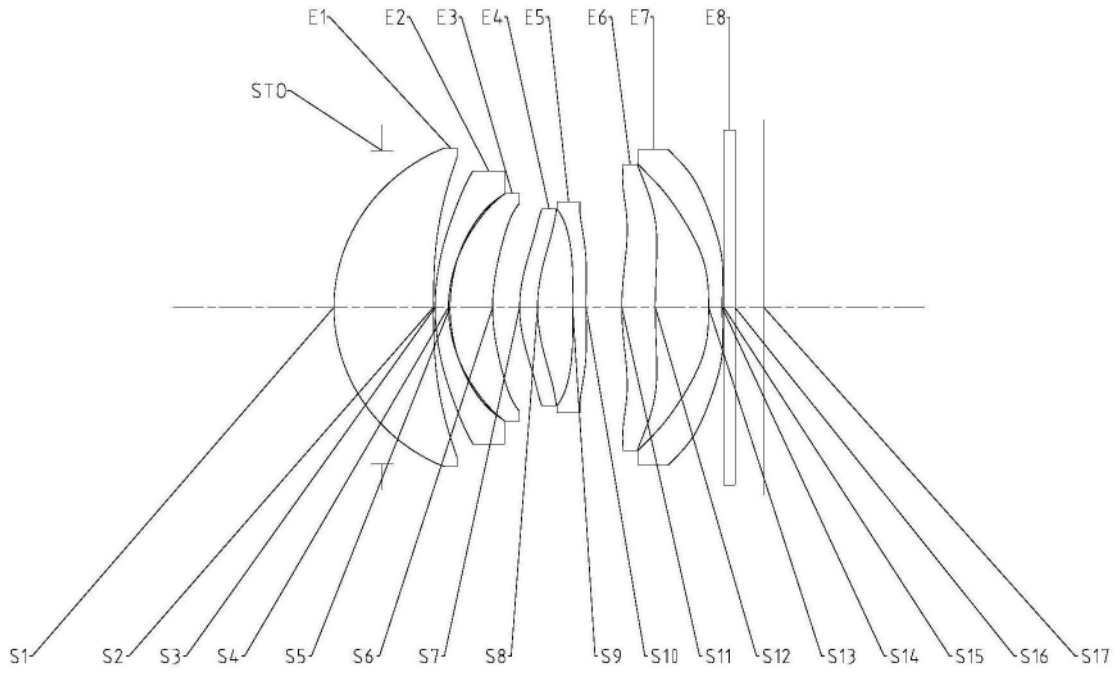


图1

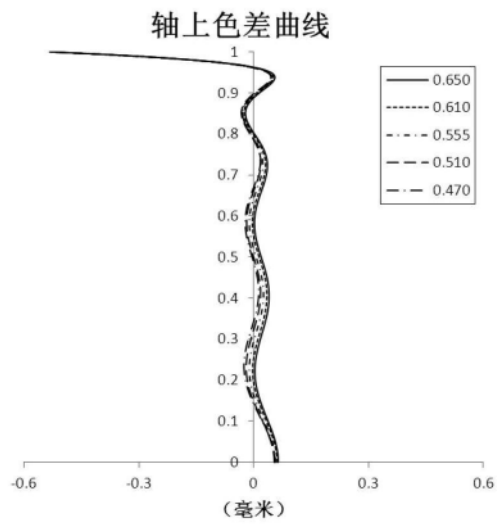


图2A

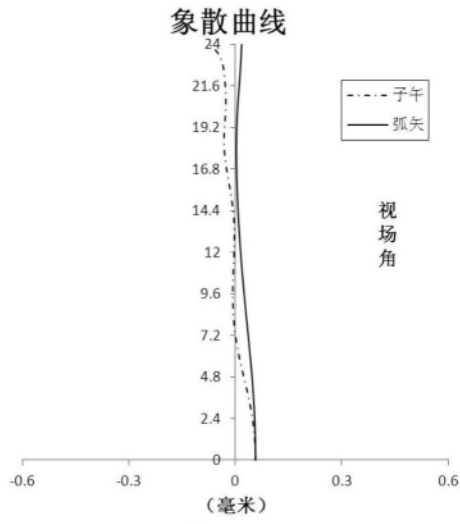


图2B

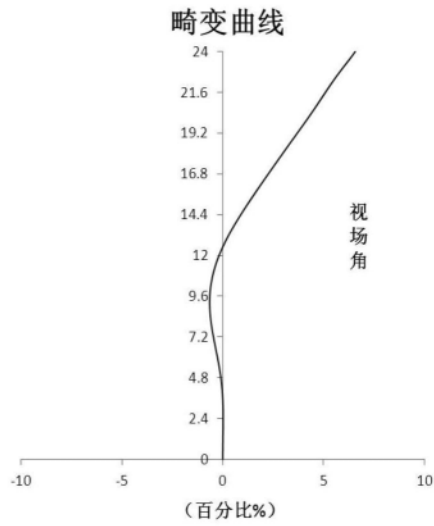


图2C

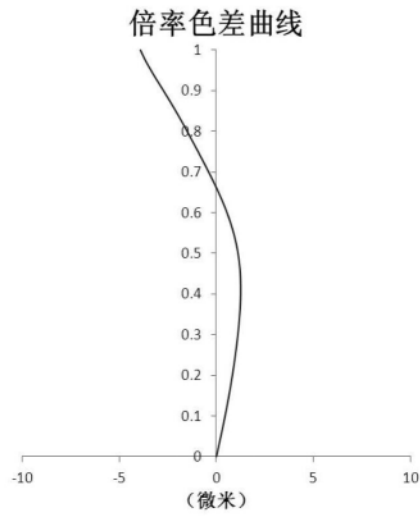


图2D

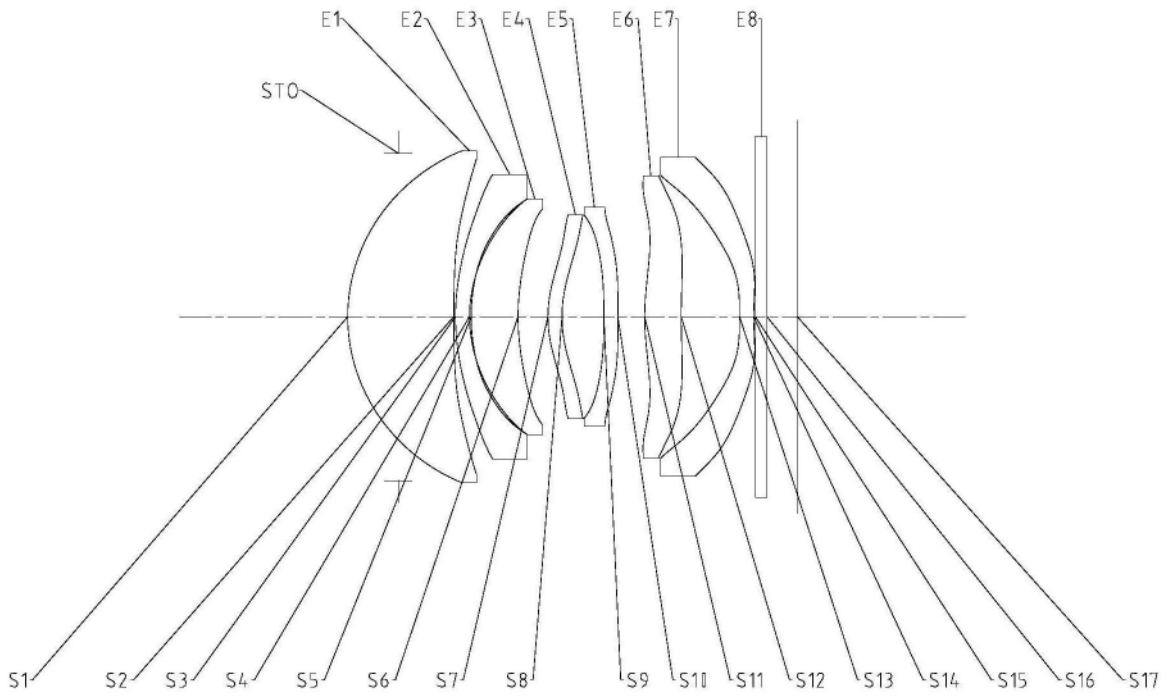


图3

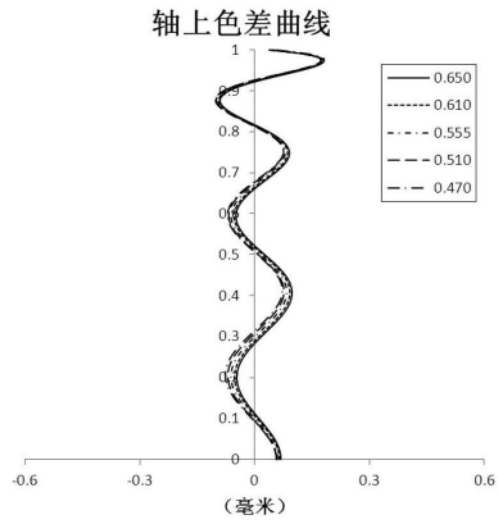


图4A

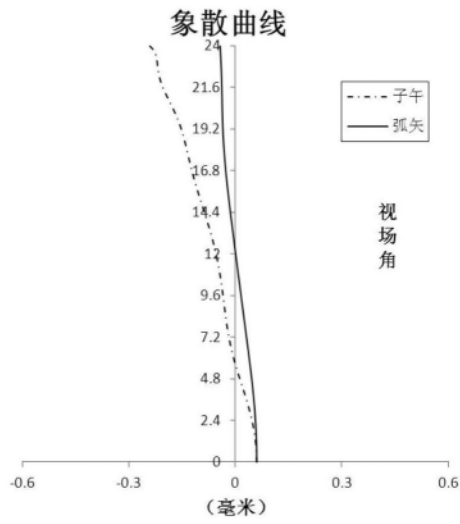


图4B

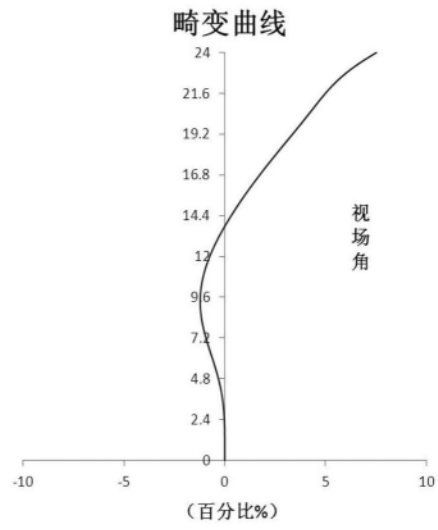


图4C

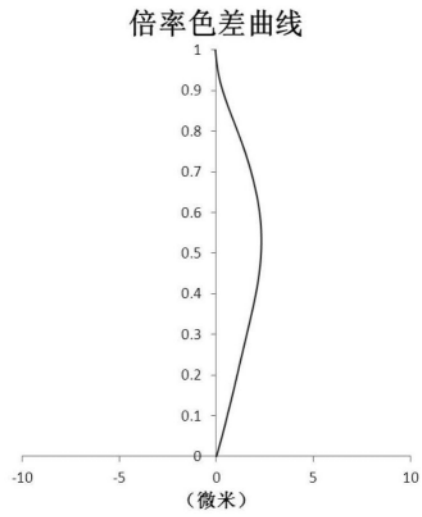


图4D

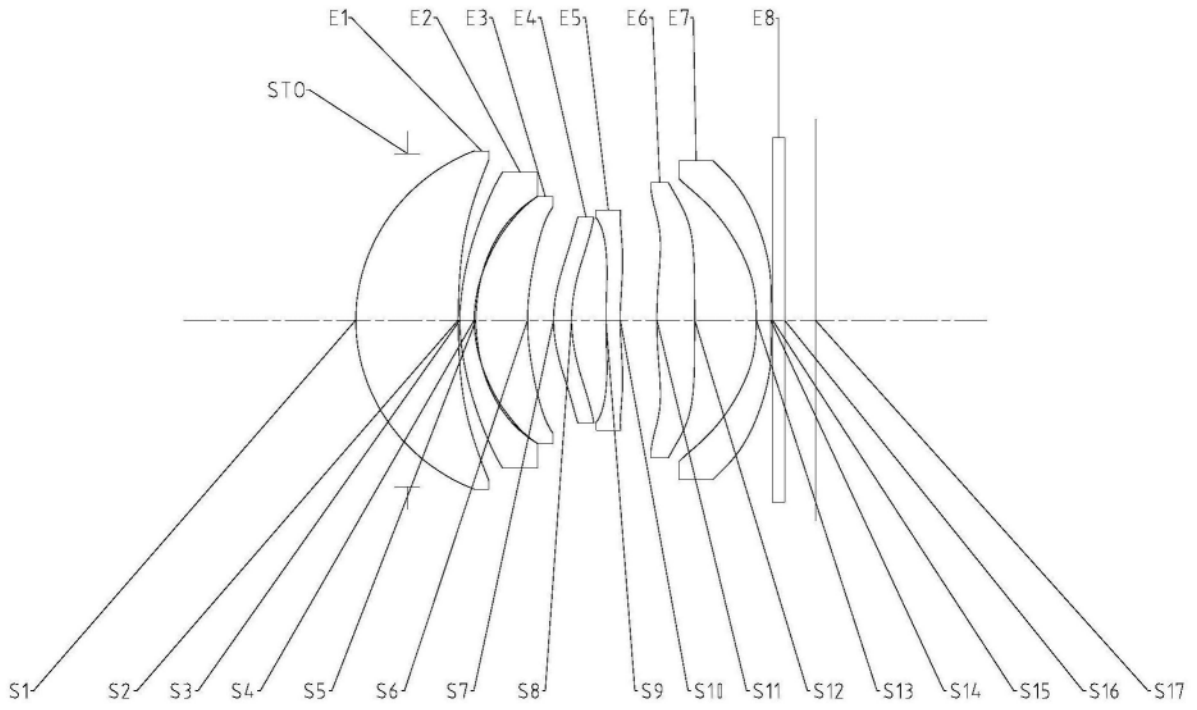


图5

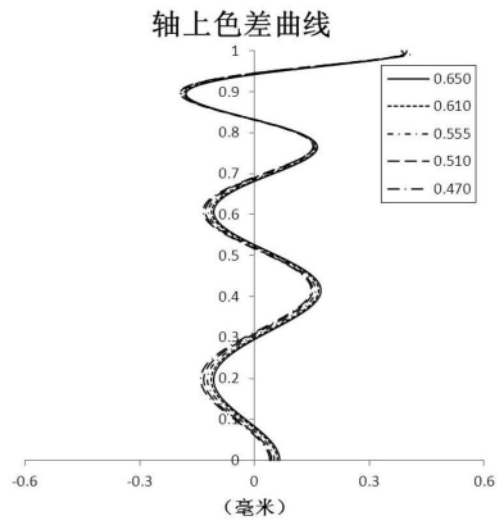


图6A

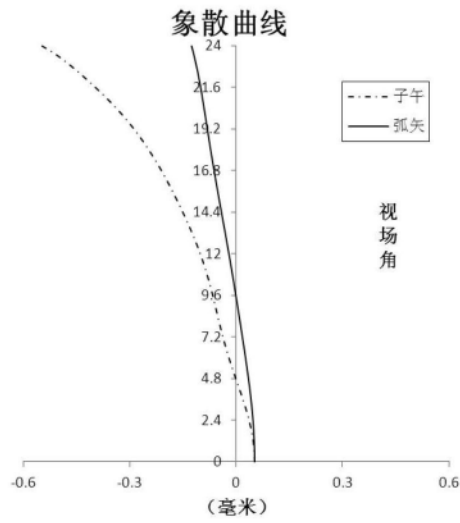


图6B

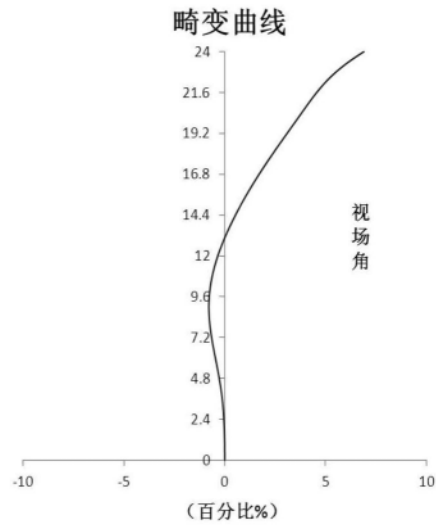


图6C

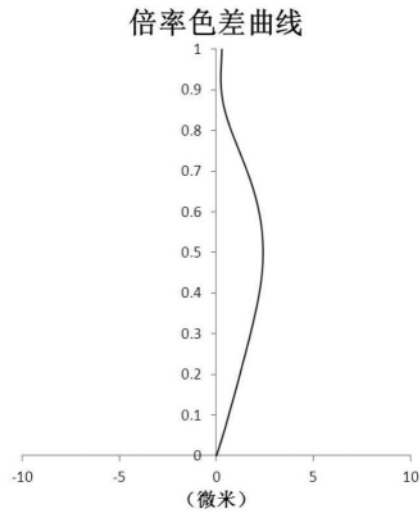


图6D

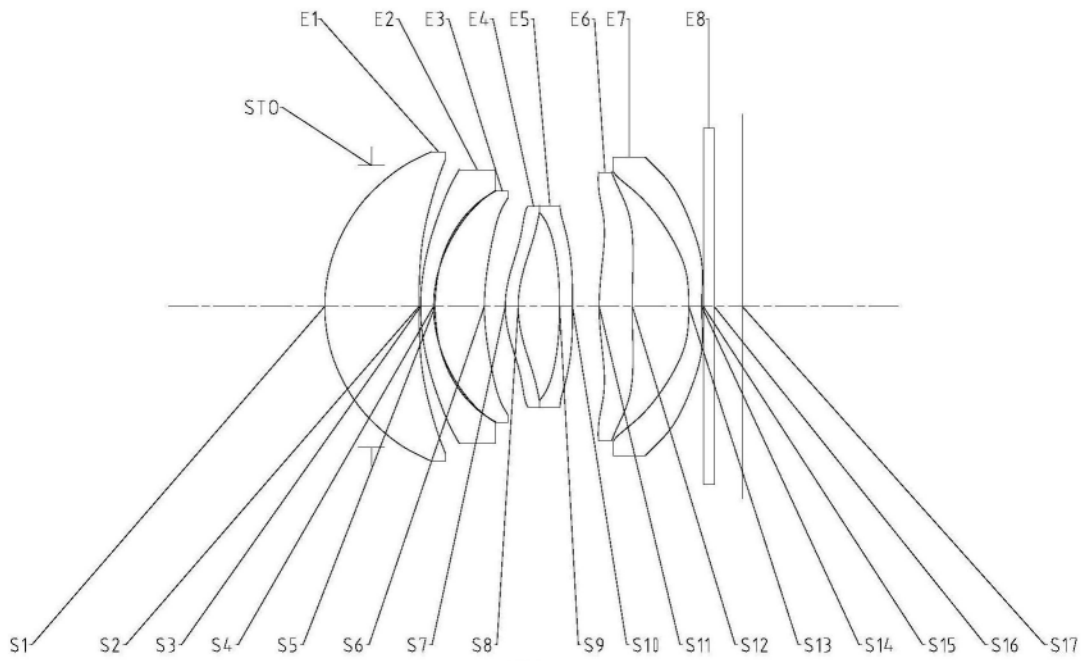


图7

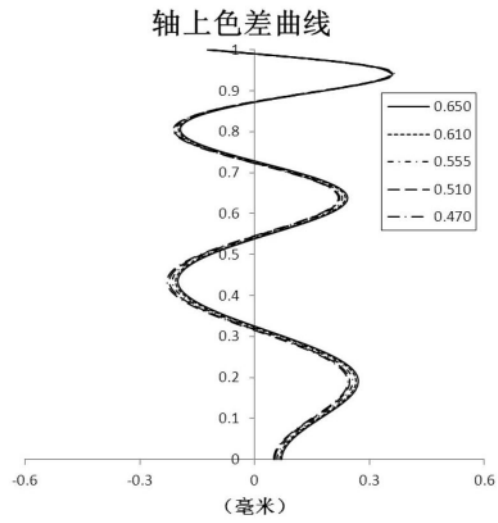


图8A

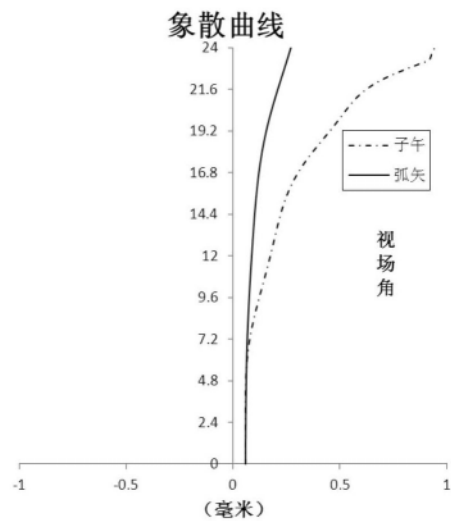


图8B

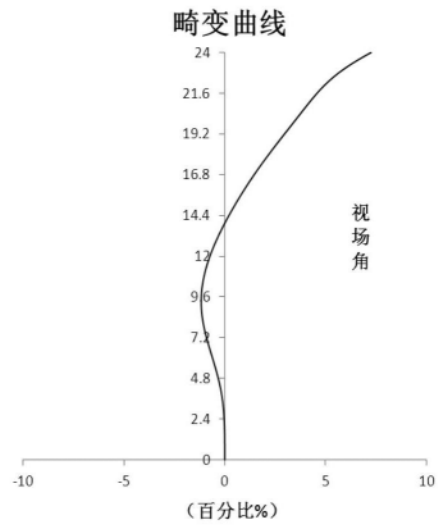


图8C

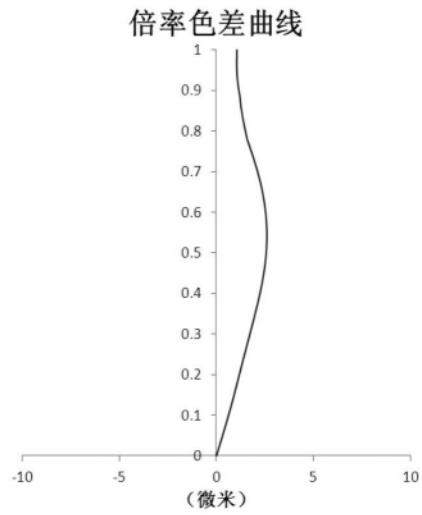


图8D

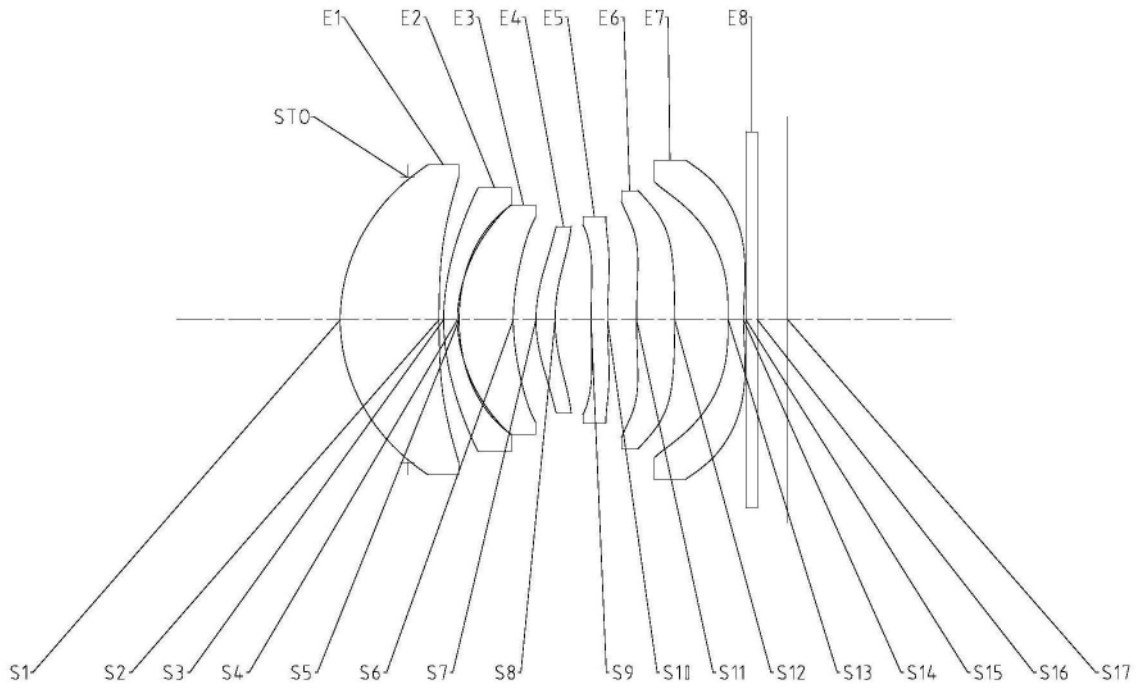


图9

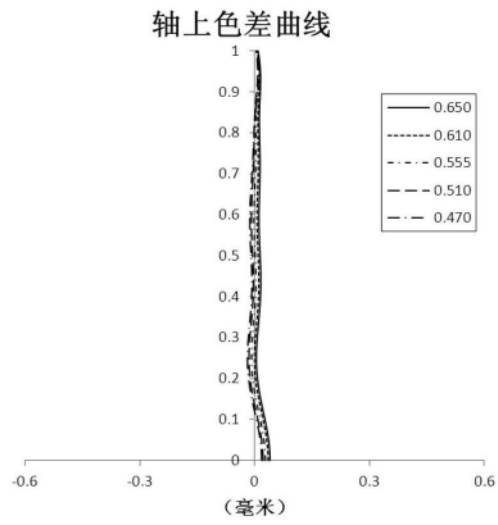


图10A

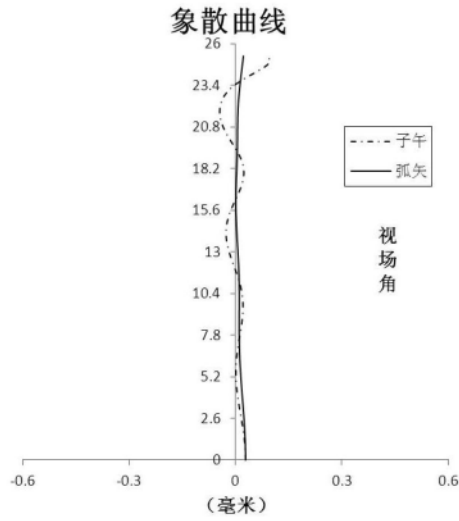


图10B

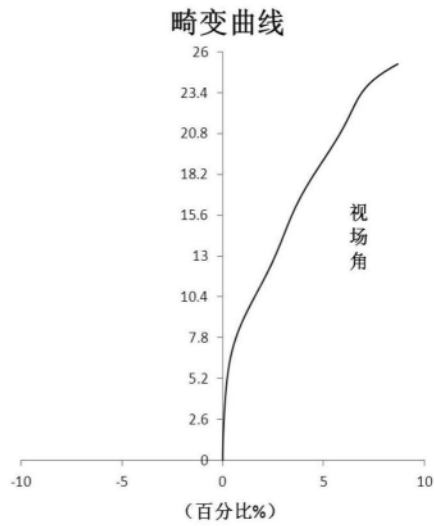


图10C

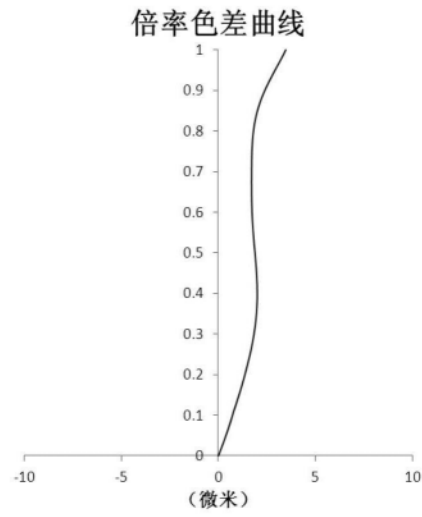


图10D

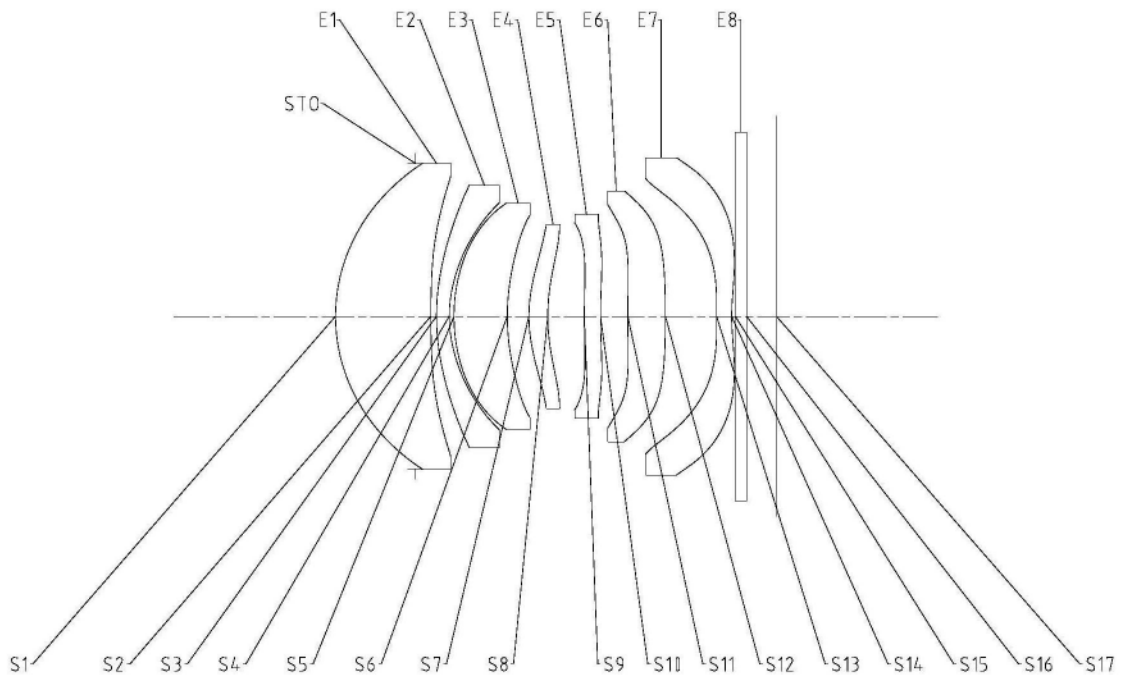


图11

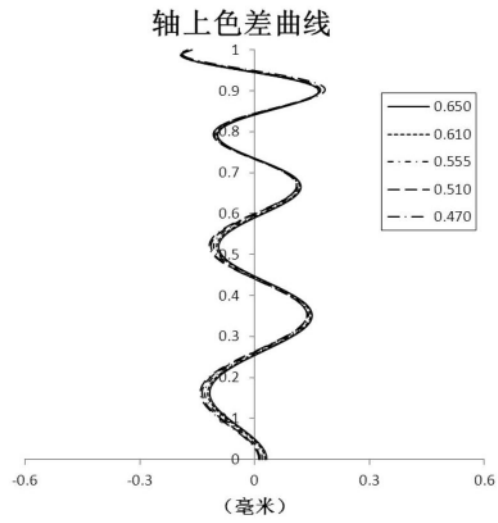


图12A

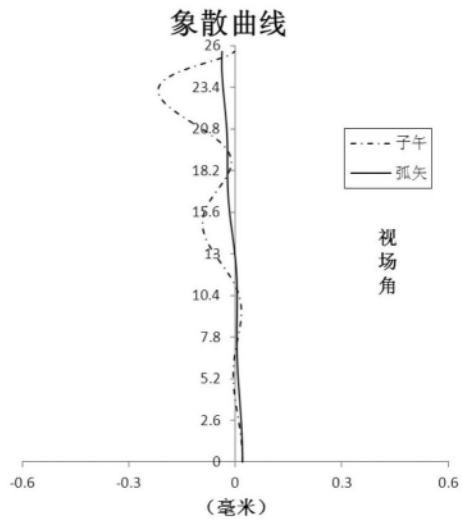


图12B

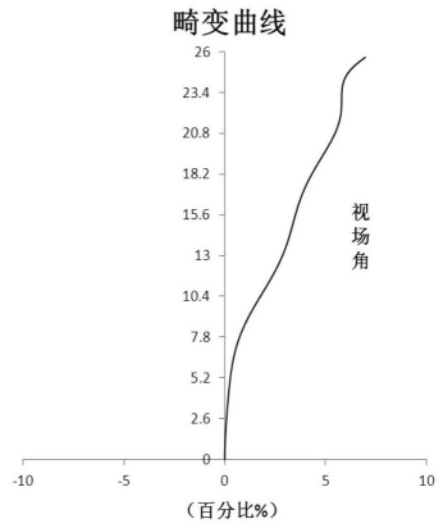


图12C

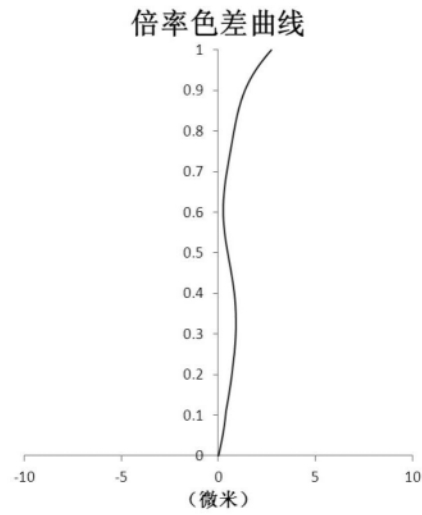


图12D

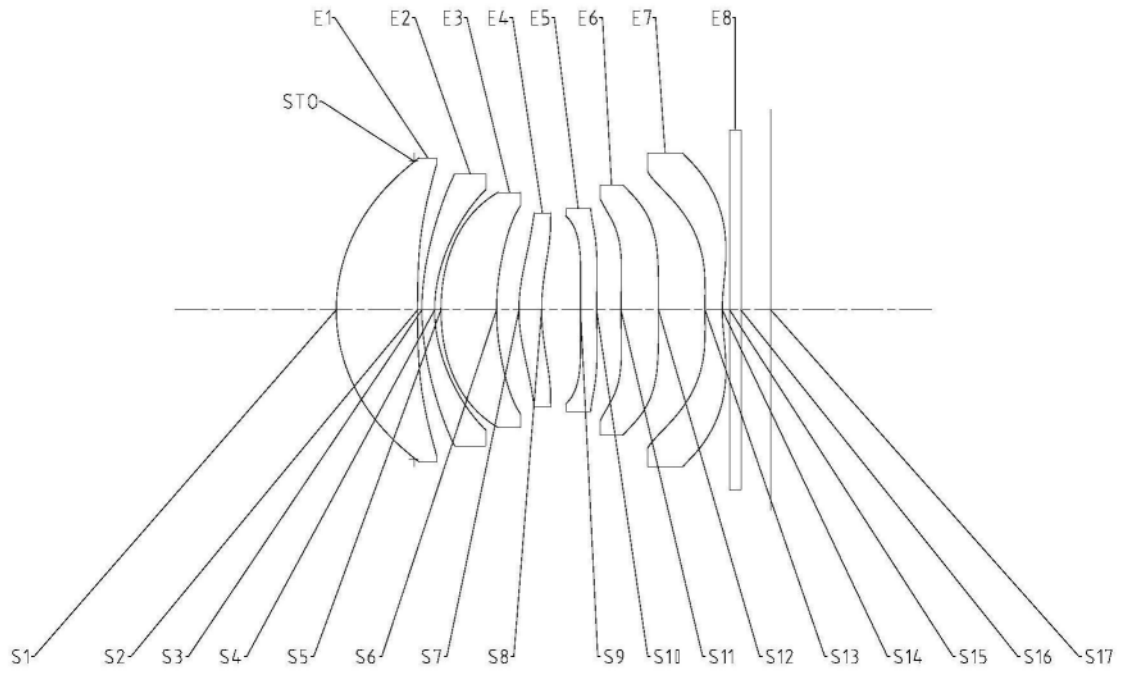


图13

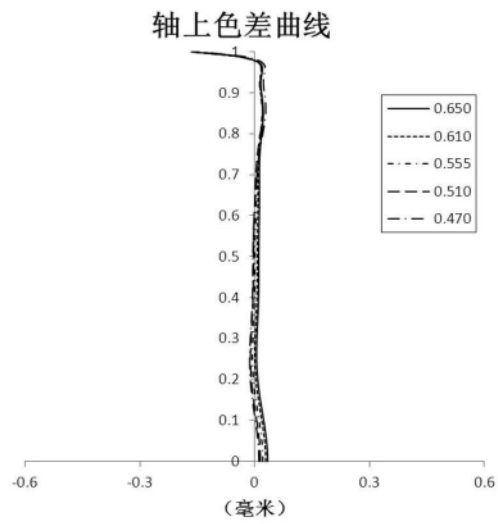


图14A

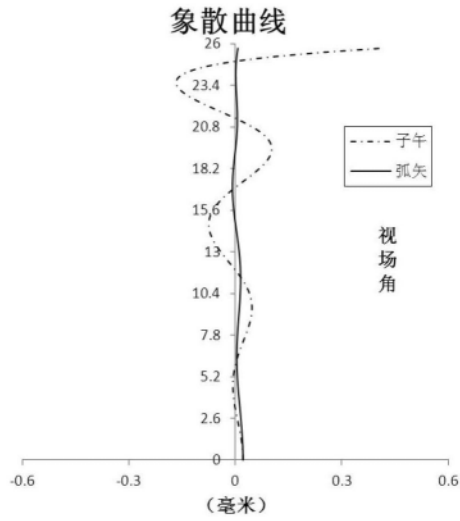


图14B

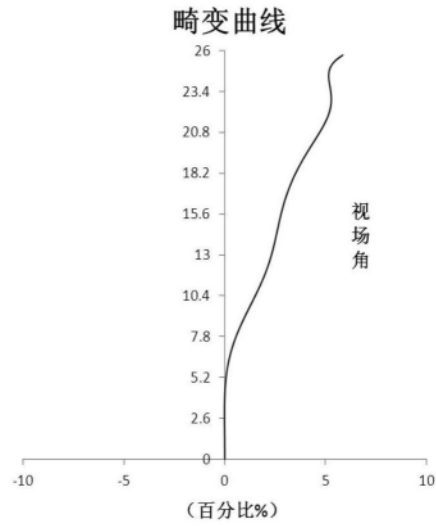


图14C

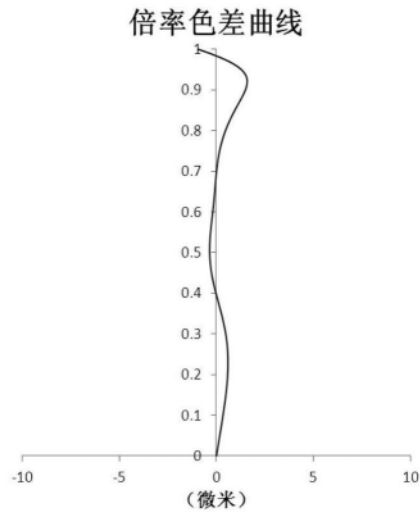


图14D

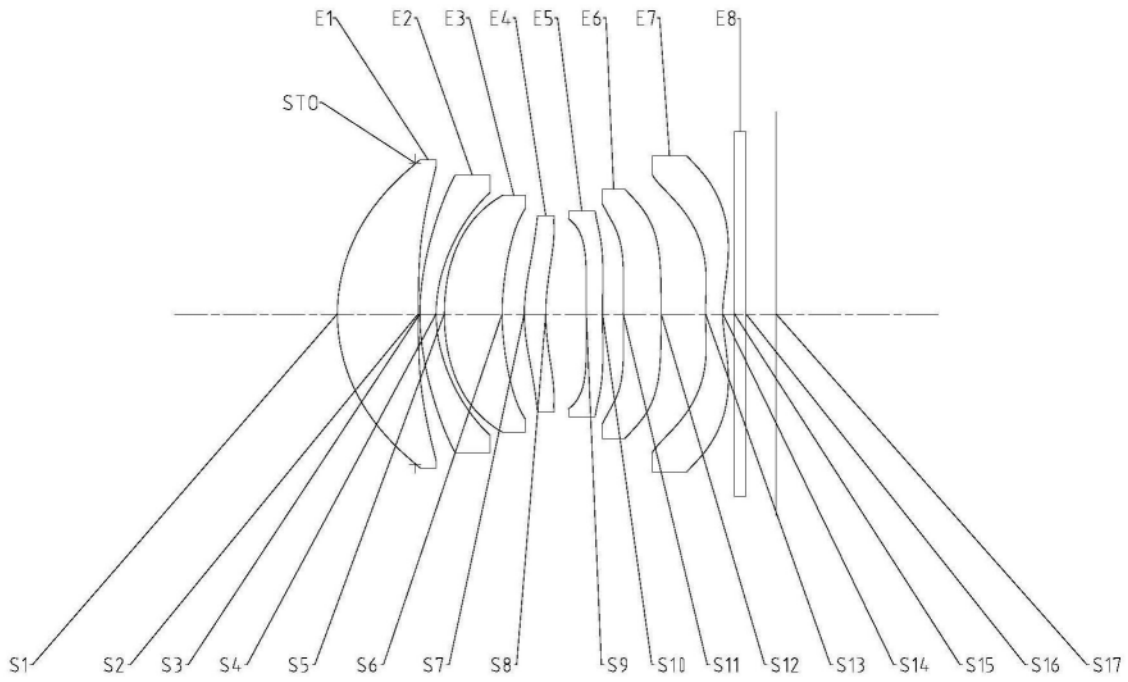


图15

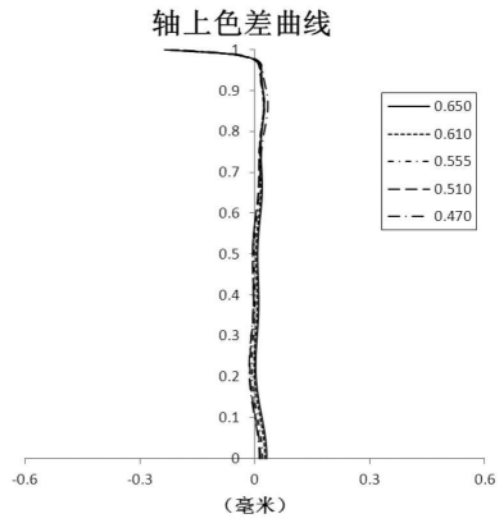


图16A

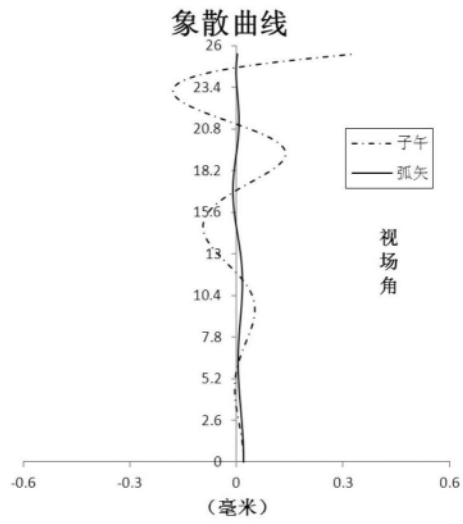


图16B

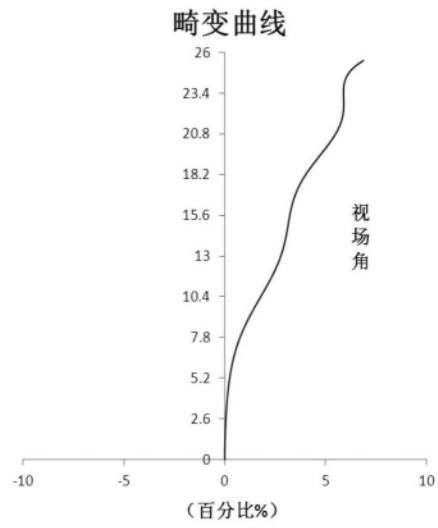


图16C

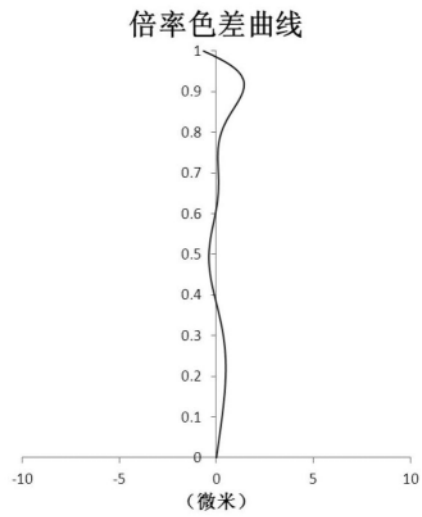


图16D

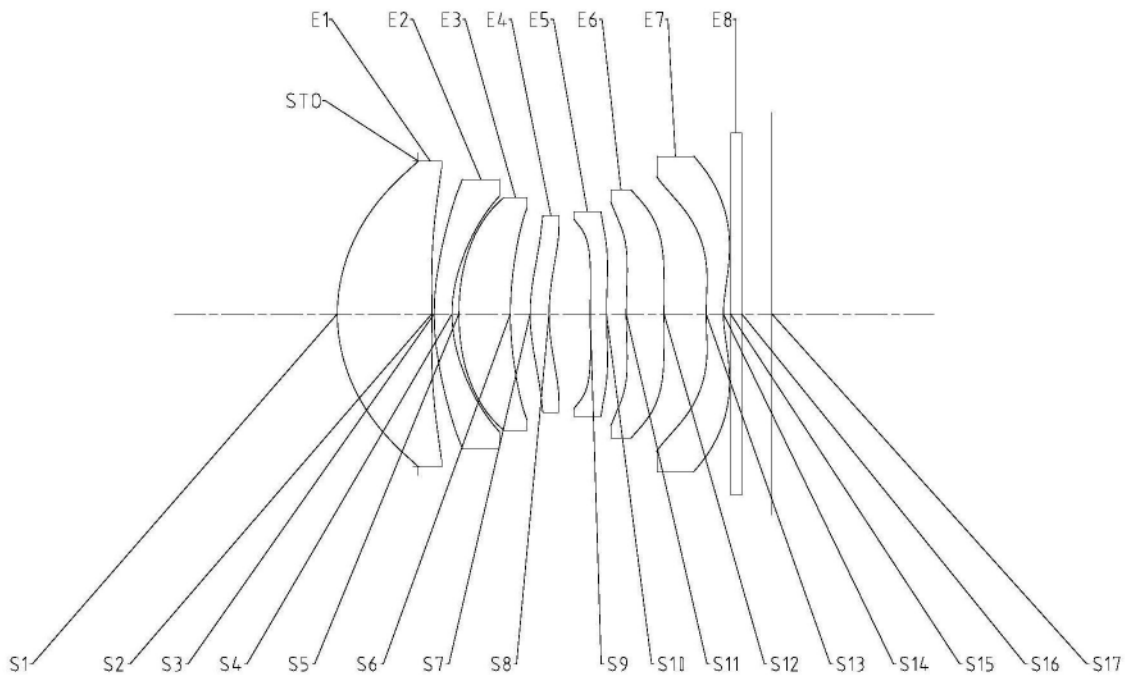


图17

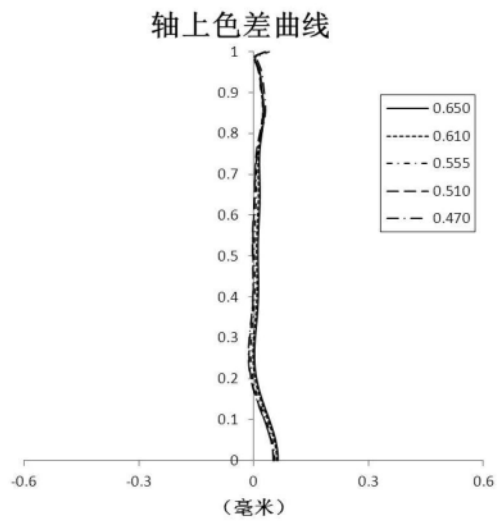


图18A

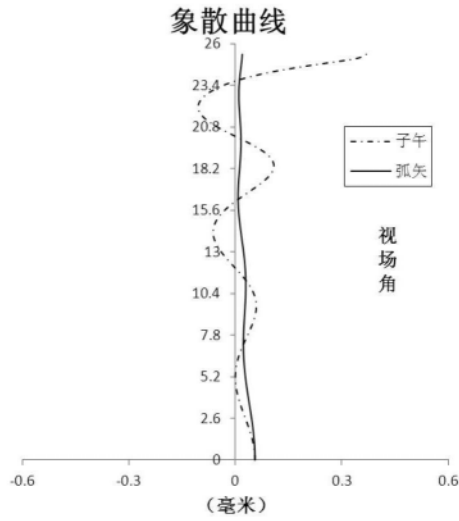


图18B

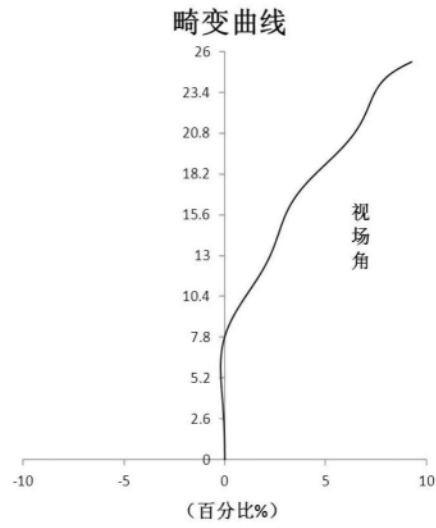


图18C

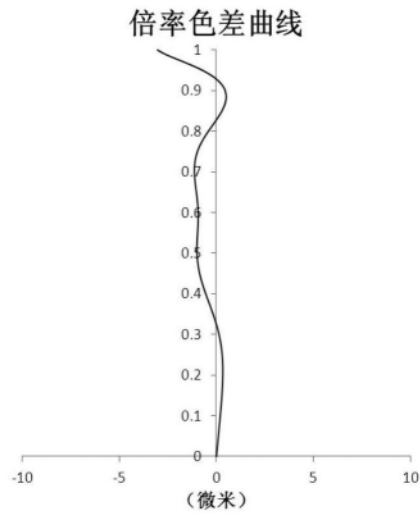


图18D

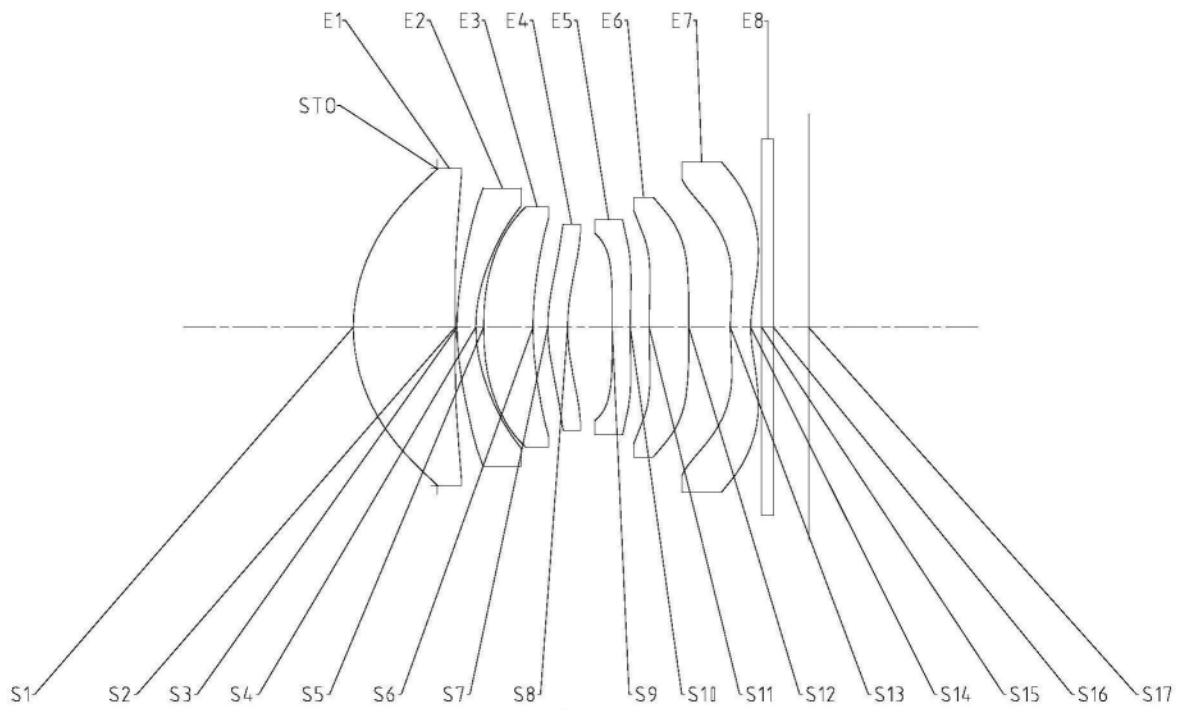


图19

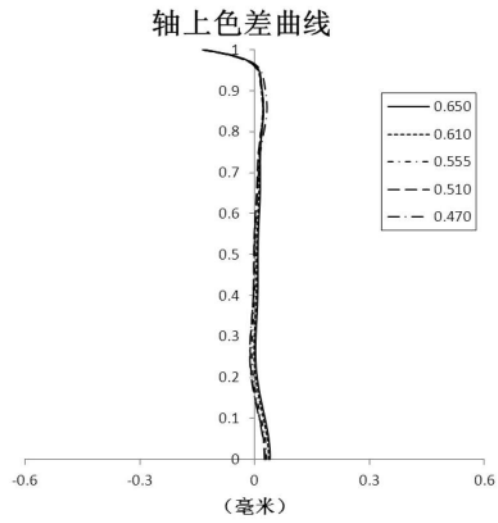


图20A

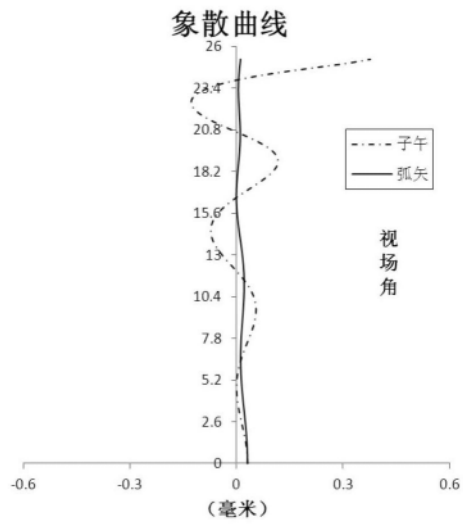


图20B

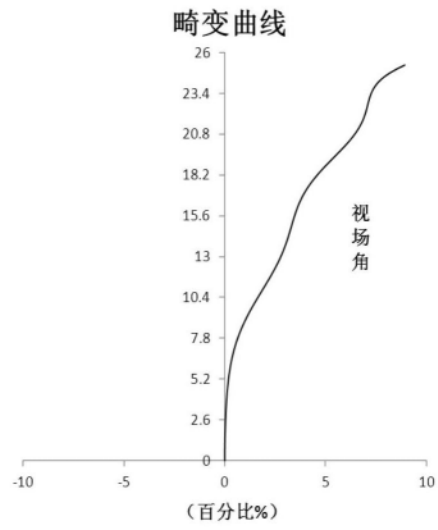


图20C

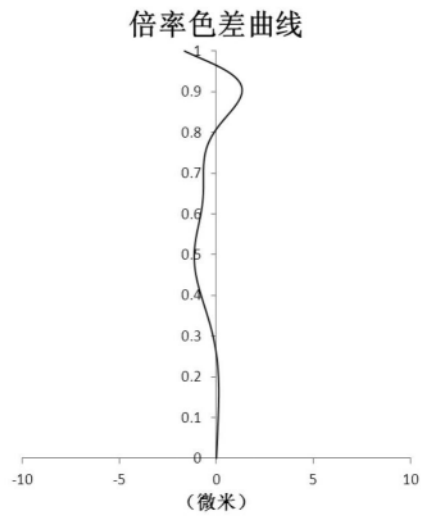


图20D